

Změna klimatu, její příčiny, dopady a projekce

Jan Hollan

CzechGlobe –
Centrum výzkumu globální změny
AV ČR, v.v.i.

Různá sousloví

- globální oteplení (... korektní, říká: trend)
 - změna klimatu (... to nikoho nepoplaší)
 - klimatická změna (... mění se i jiné věci)
-
- **globální klimatický rozvrat** (... výstižné)
 - klimatická krize (... dtto)
 - dramatická klimatická změna (... jemnější)

Termín „globální oteplování“ není dost výstižný, ba je matoucí

Vzbuzuje dojem něčeho, co je

- rovnoměrné po celé Zemi,
- týká se vlastně jen teploty,
- pozvolné
- a dost možná neškodné

Jenže změny jsou doopravdy

- velmi nerovnoměrné,
- týkají se zdaleka ne jen teplot
- rychlé ve srovnání s možností přizpůsobení
- v mnoha případech a místech škodlivé

Průměrná teplota je jen nejprostší ukazatel stavu klimatu

Klima je kromě průměrů charakterizováno i extrémy, dobovou výskytu, prostorovým uspořádáním

- horka a zimy,
- nebe zataženého a jasného,
- vlhka a sucha
- sněžení, sněhové pokrývky a tání
- vánků, vánic, tornád a tajfunů

Změna klimatu znamená rozvrat doposud existujících charakteristik. Malá změna ukazatele (globálních odchylek od dřívějších teplot) znamená velké změny výskytu různých typů počasí.

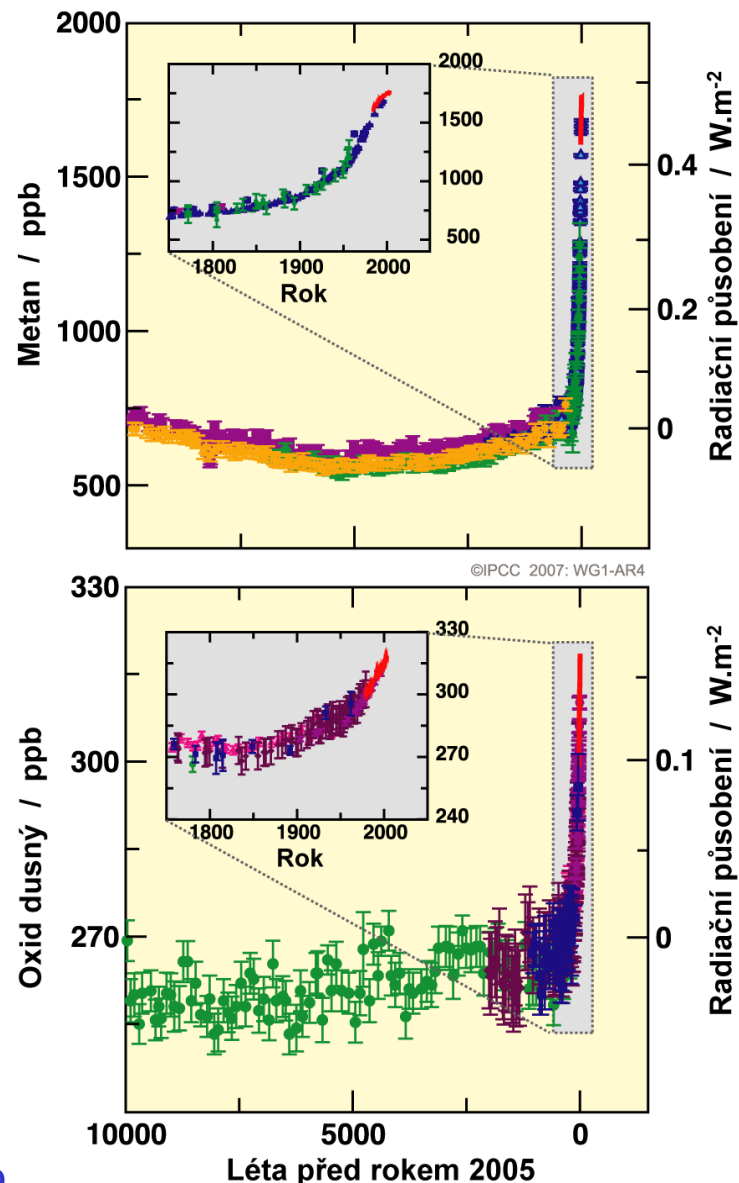
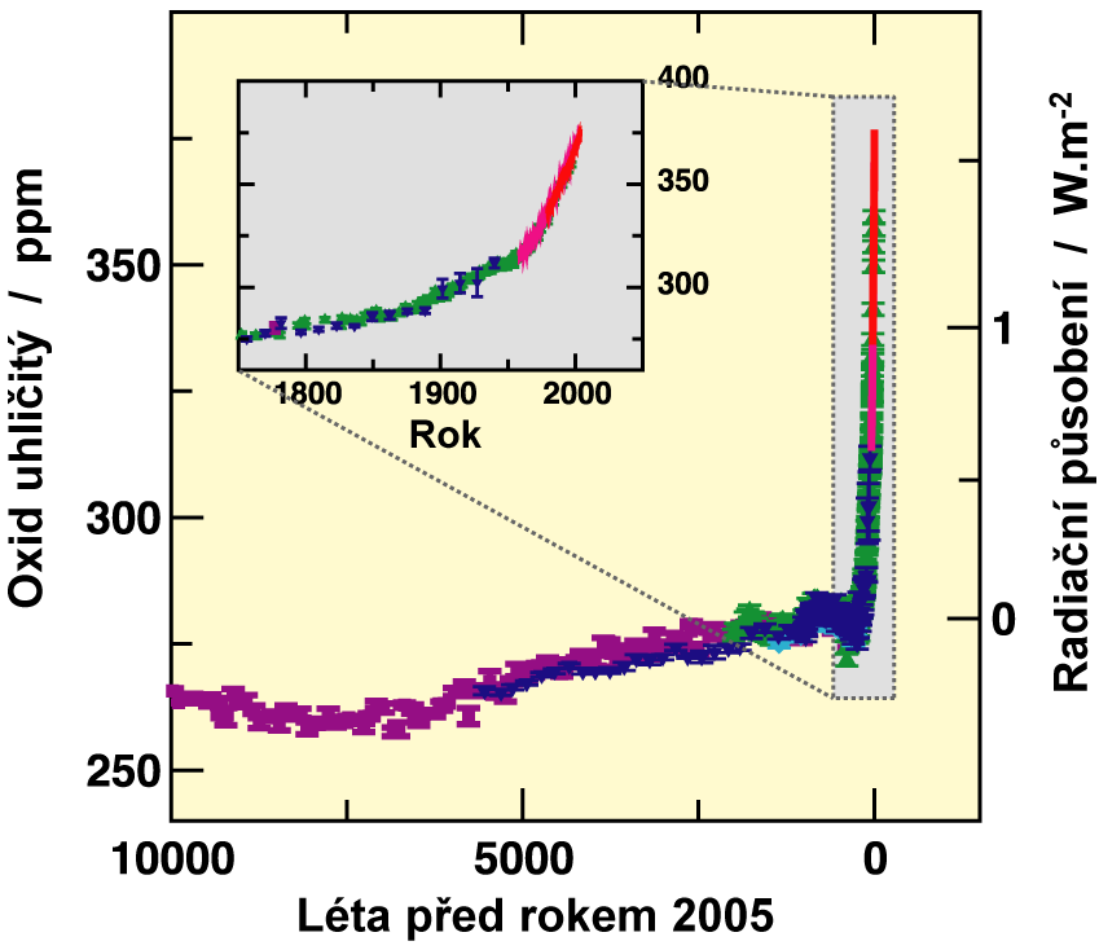
1. Příčiny

Rostoucí koncentrace skleníkových plynů. Jejich vliv je zatím do značné míry maskován síranovými aerosoly

Květen 2011: 392,01 ppm

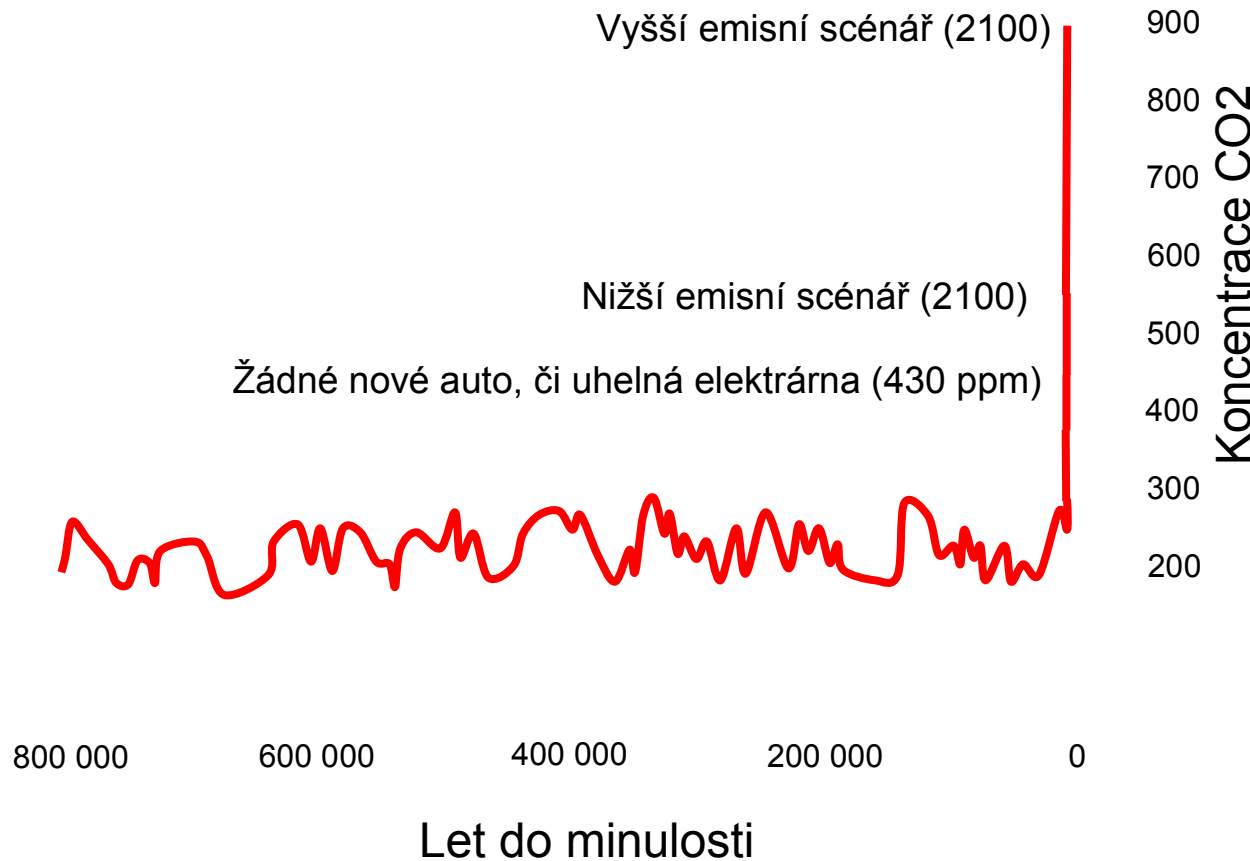


Změny koncentrací oxidu uhličitého dle rozboru ledových vrtných jader a přímých měření složení ovzduší

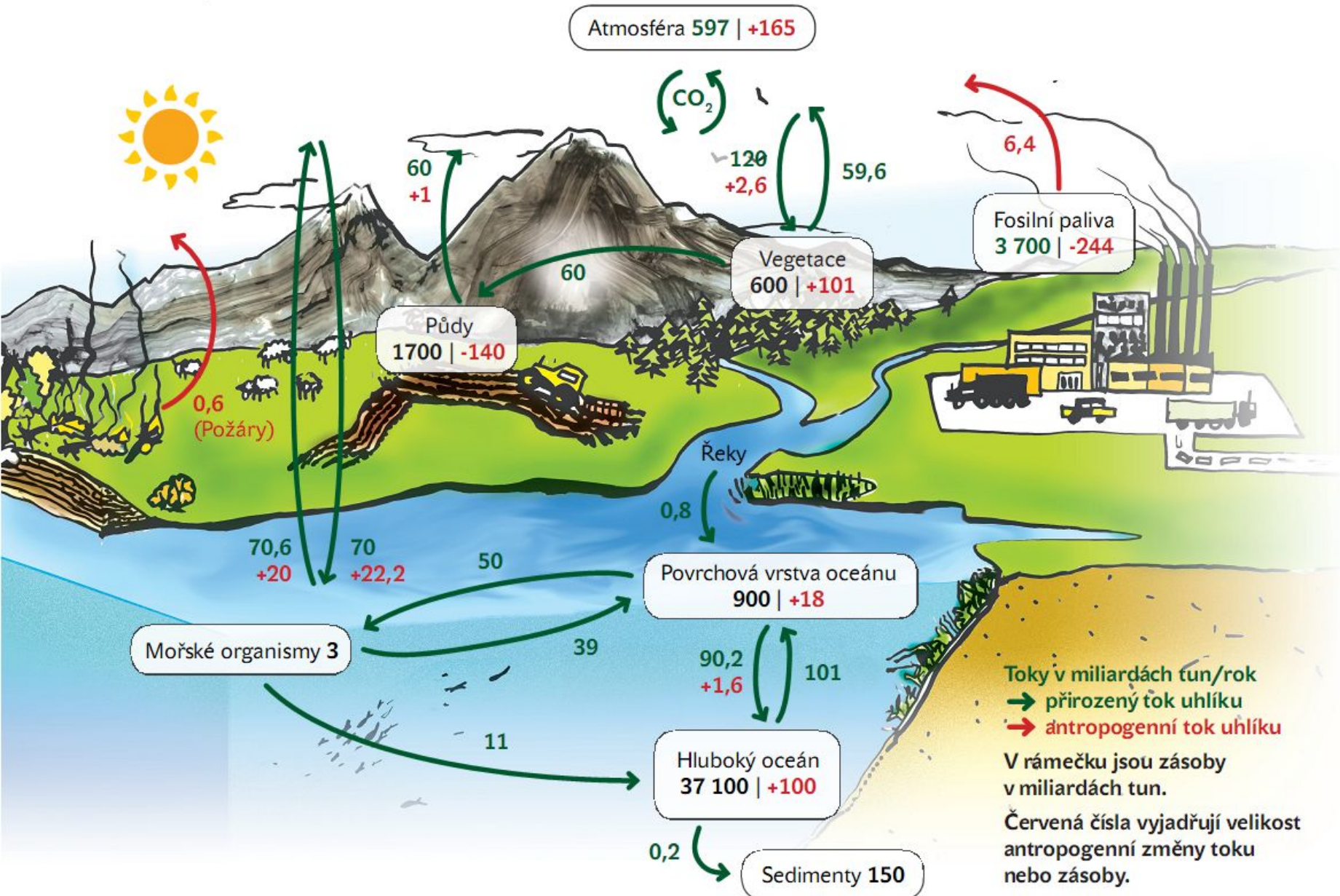


*Intergovernmental Panel on Climate Change
4th Assessment Report (IPCC AR4, Feb. 2007)*

Trochu historické perspektivy



Toky uhlíku v 90. letech 20. století

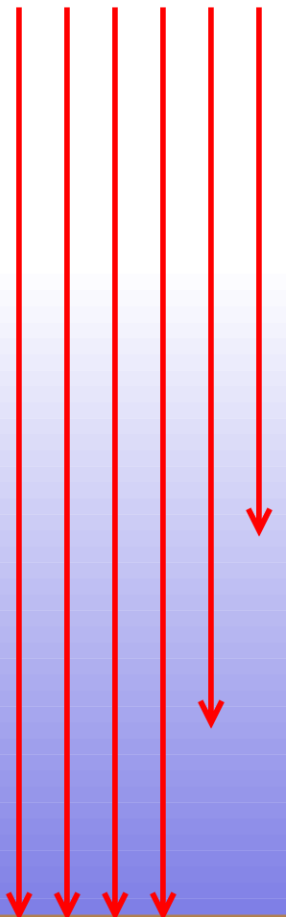


zdroj: Veronica, výstava Prima Klima

Skleníkový jev: tepelný tok / W/m^2 , 1 šipka = 40

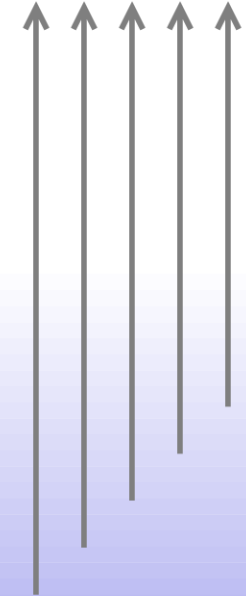
Sluneční záření

235



Dlouhovlnné záření zpět do vesmíru

235 před r.1900, ale jen 232 nyní: více než 1% změna!



Tok z povrchu Země
(většinou pohlcen ovzduším)

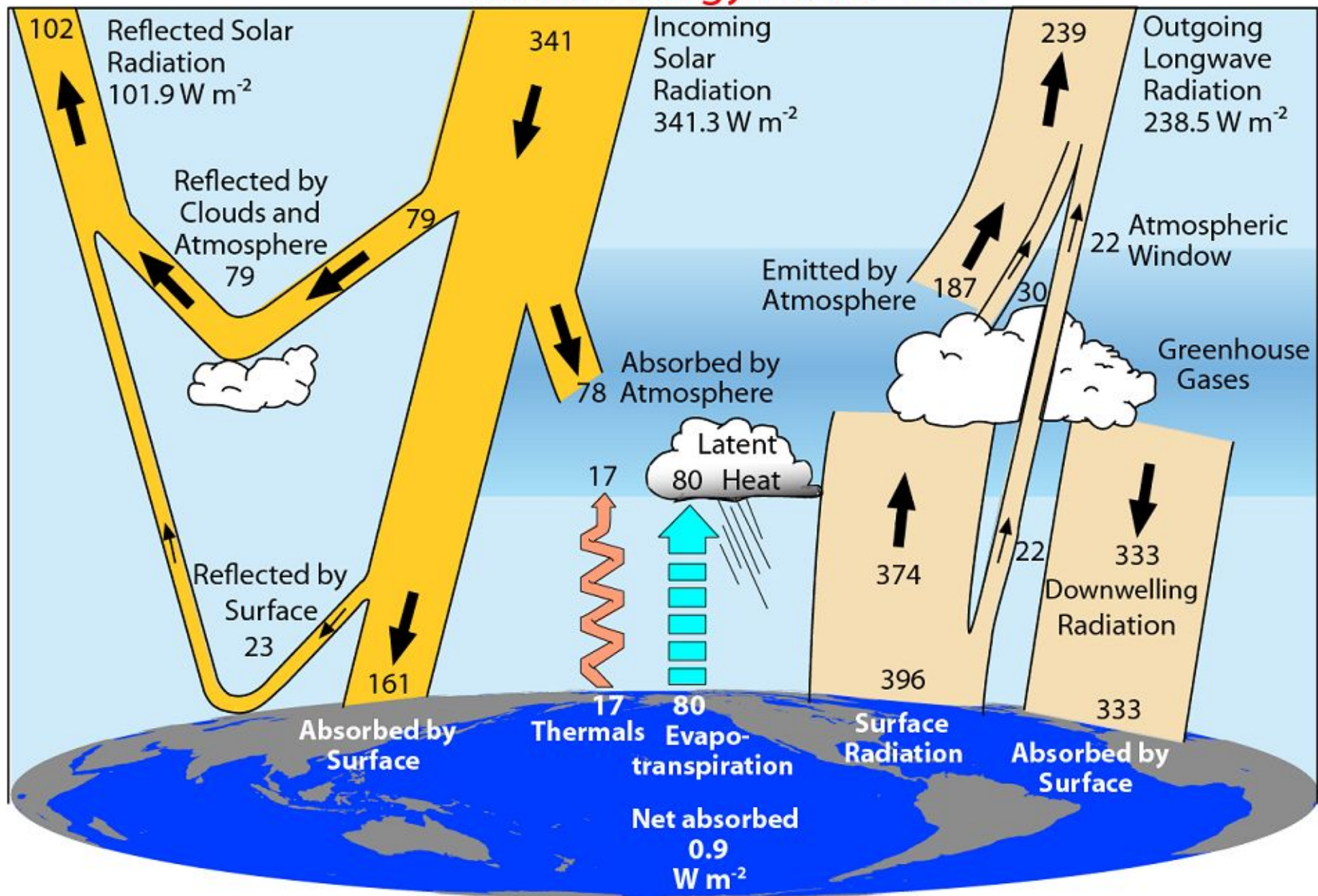
168

324 dřív, 327 nyní

Dlouhovlnné záření z ovzduší



Global Energy Flows W m^{-2}



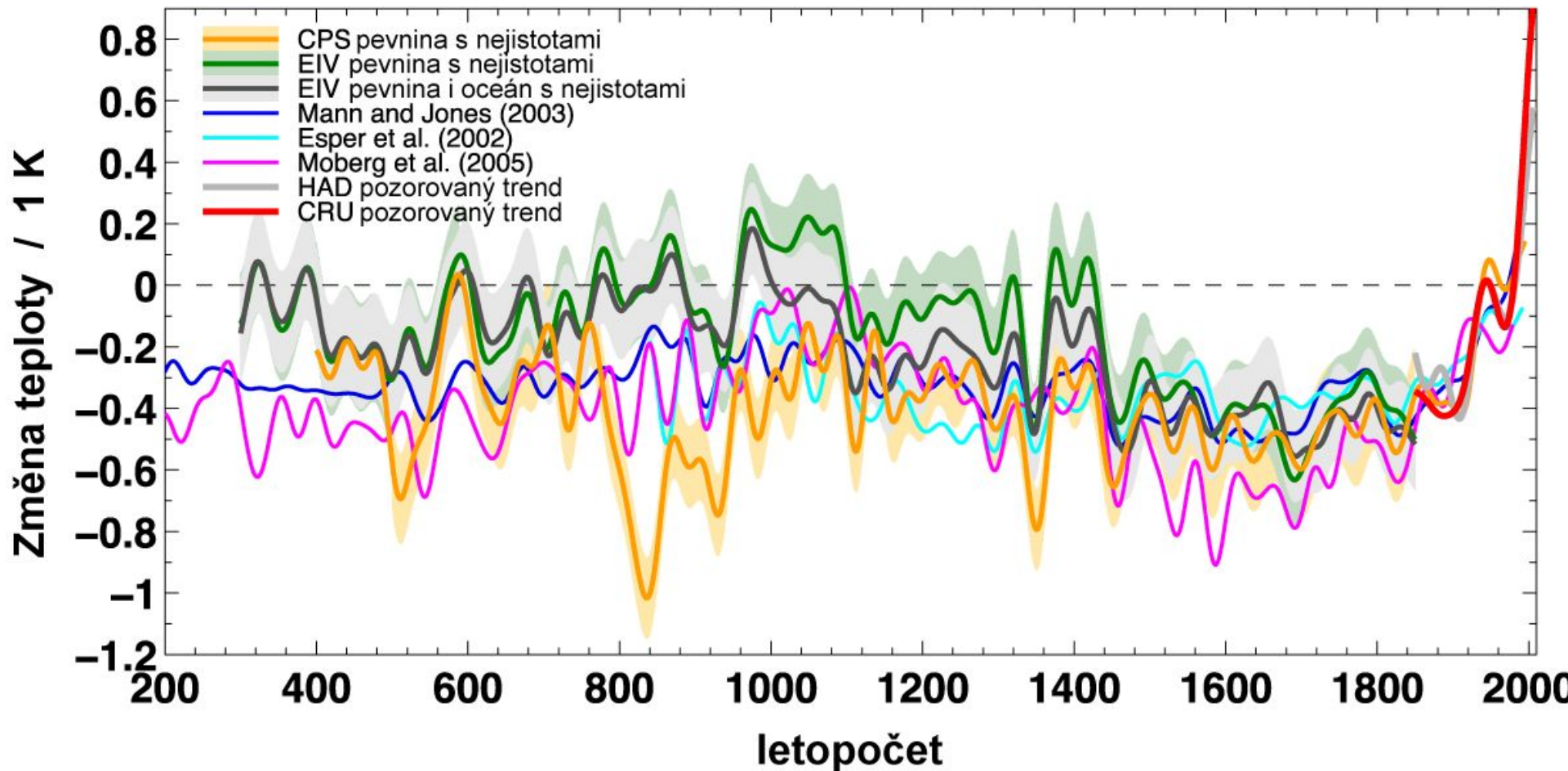
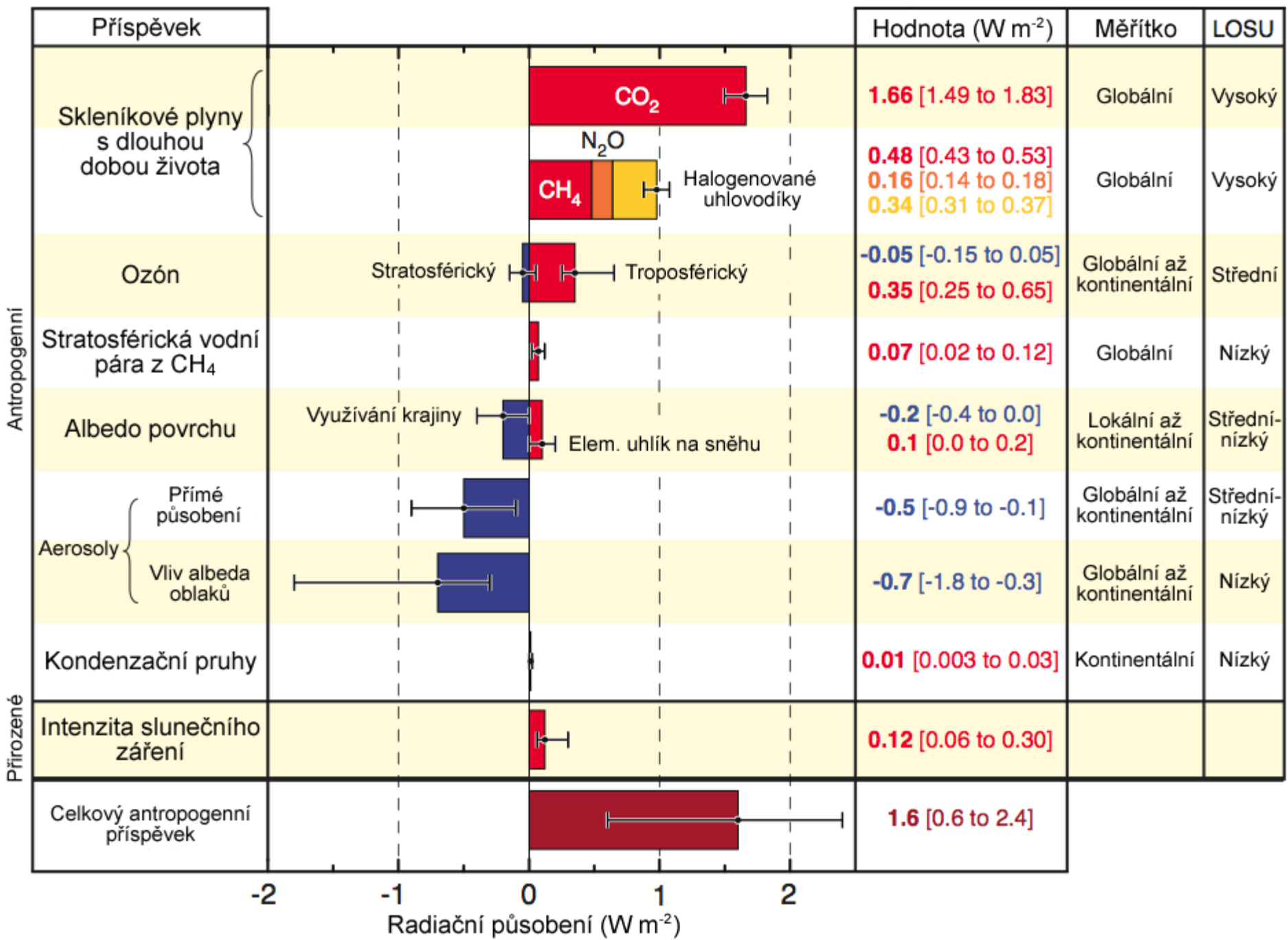


Figure 19: Rekonstrukce změn teploty severní polokoule od roku 200 (zdroj: Kodaňská diagnóza)

Příspěvky k radiačnímu působení



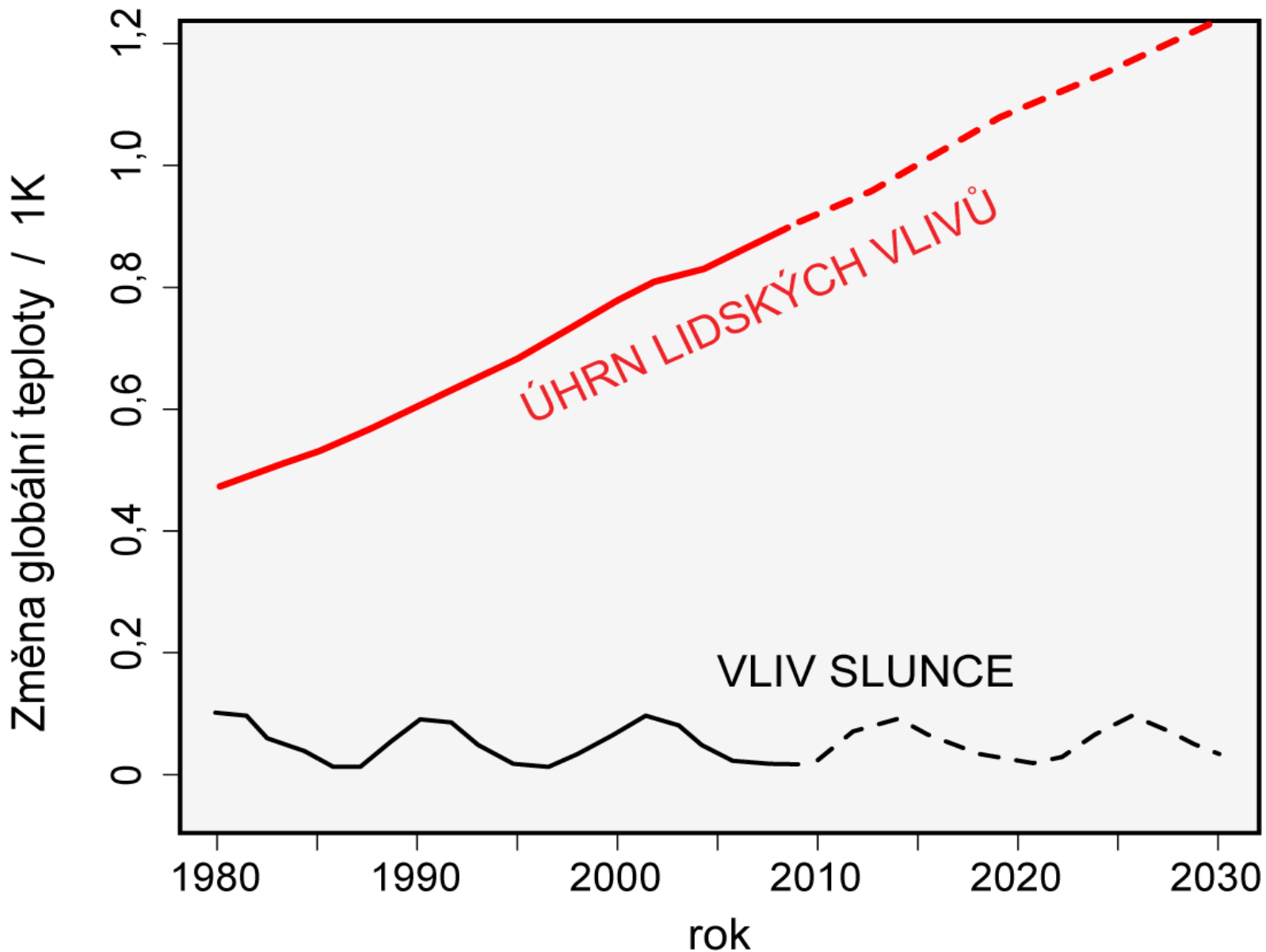
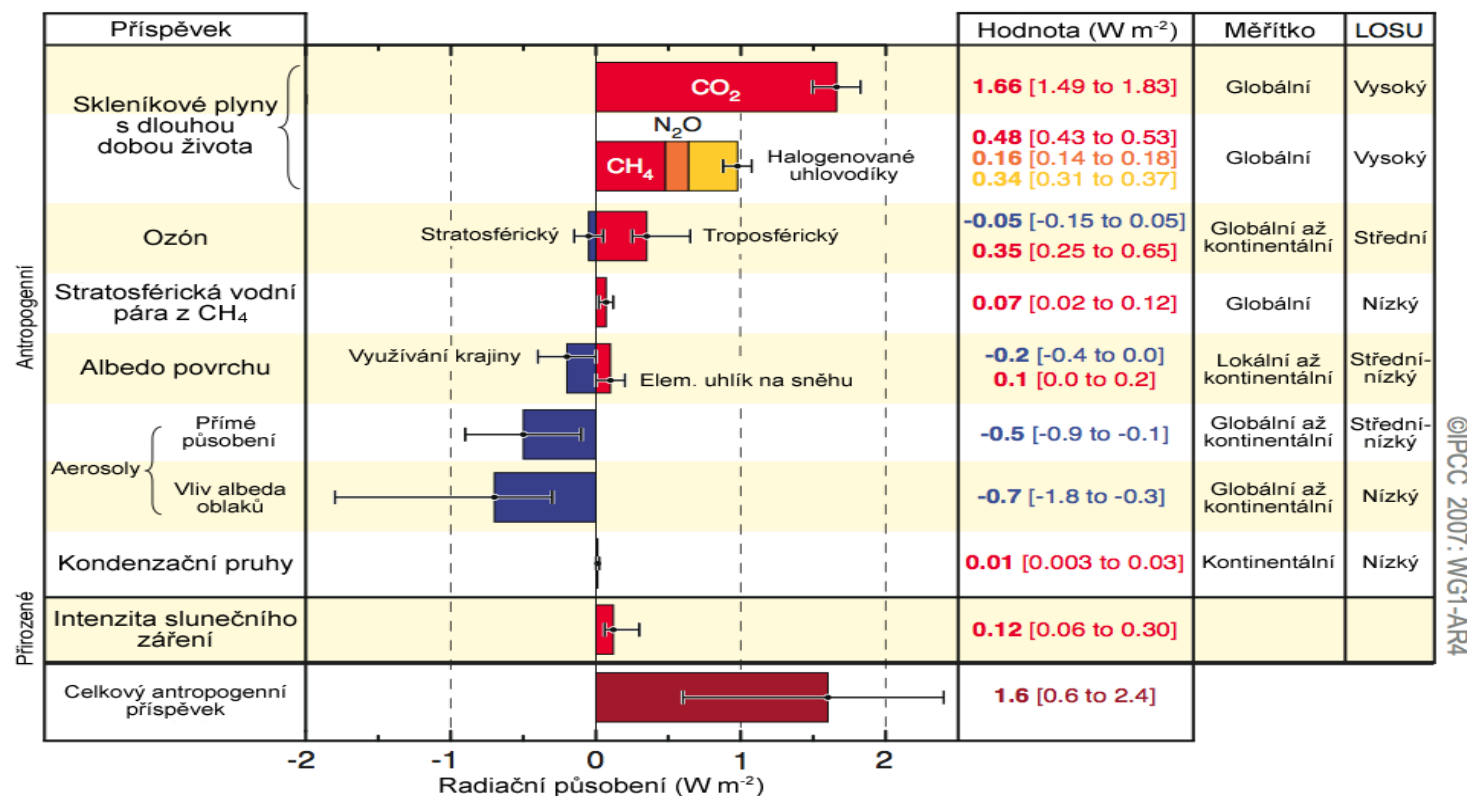
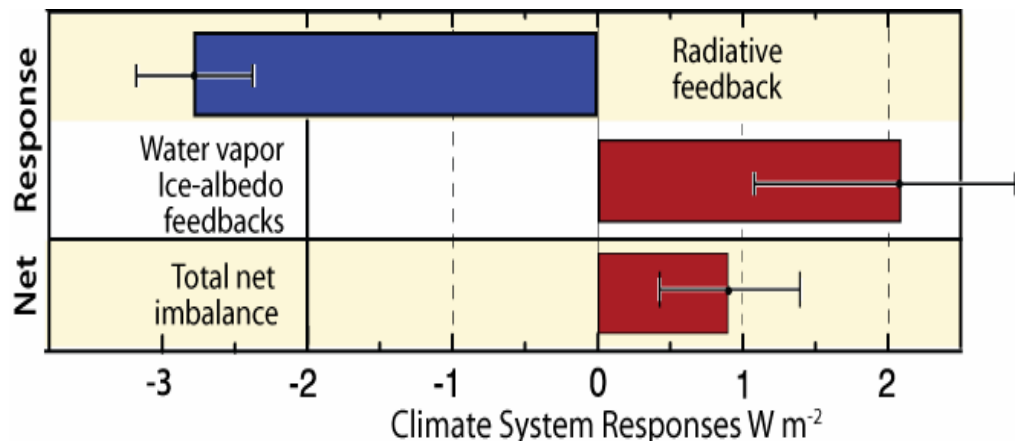


Figure 5: Vliv antropogenní oproti vlivu solárnímu od roku 1980 a projekce do 2030 (zdroj: Kodaňská diagnóza)

Příspěvky k radiačnímu působení



©IPCC 2007: WG1-A.R4

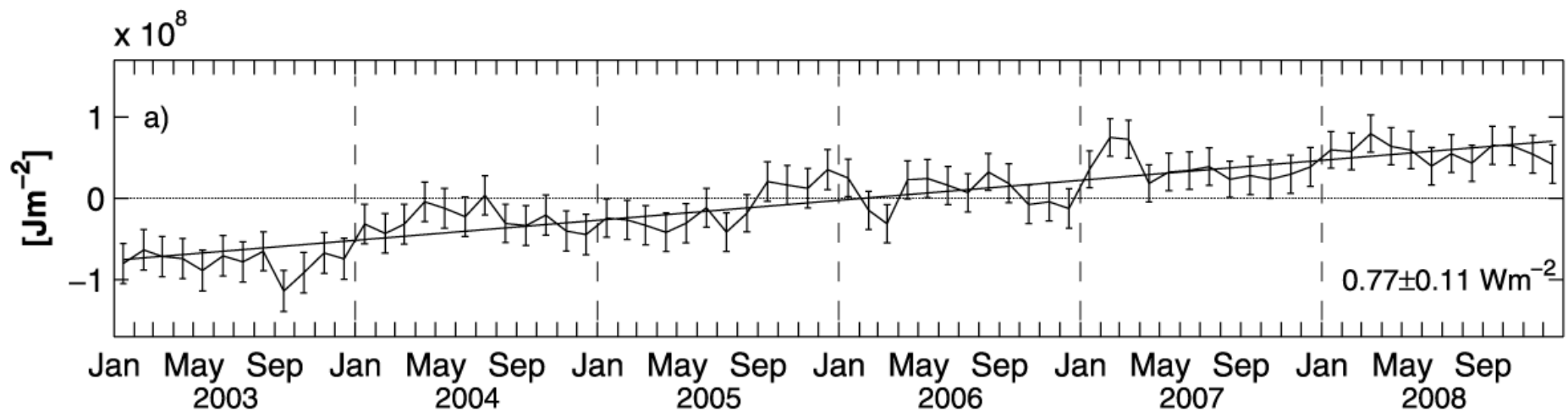


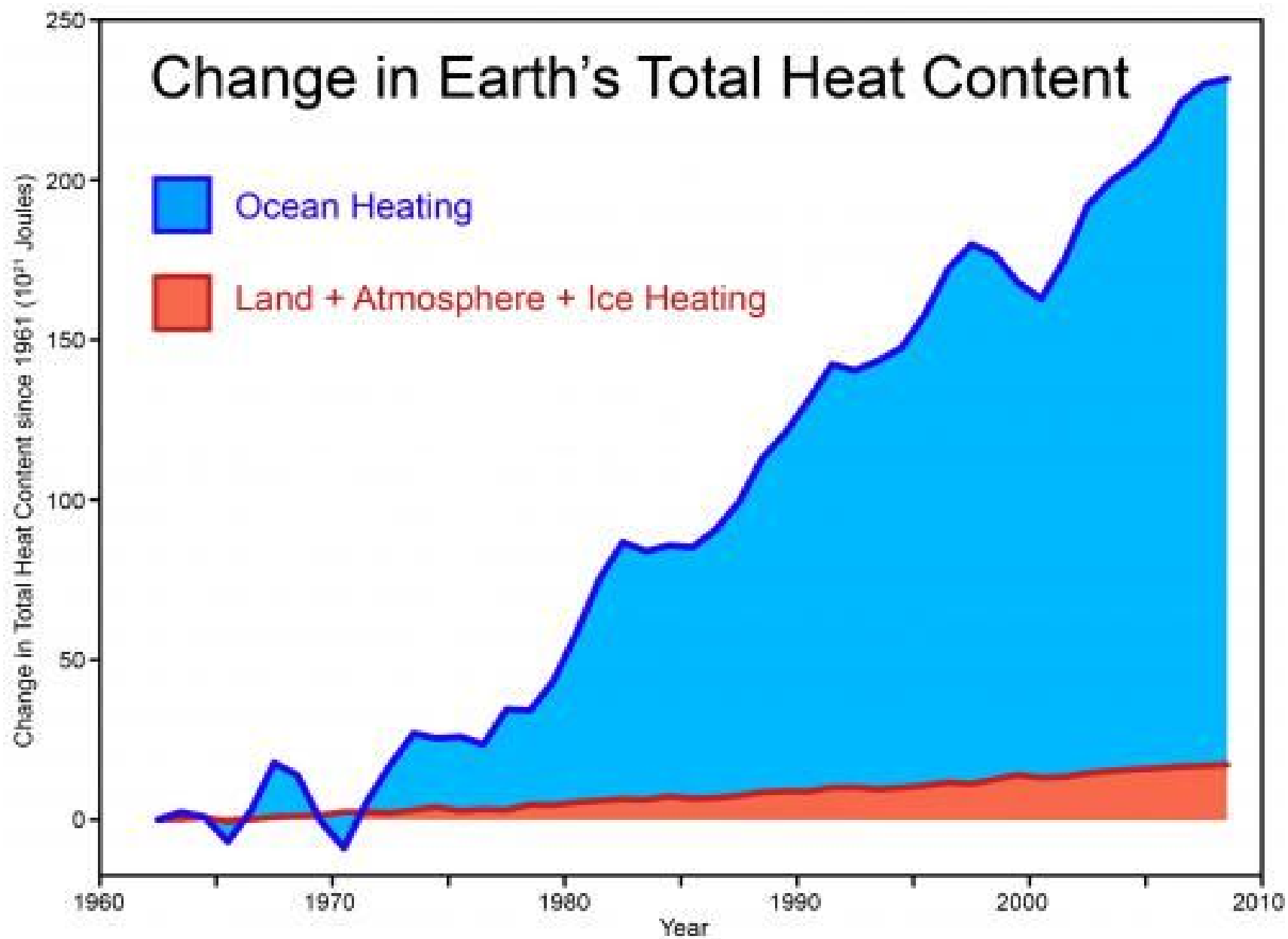
Trenberth et al
2009

Tok tepla do oceánů

Global hydrographic variability patterns during 2003-2008.

Karina von Schuckmann, Fabienne Gaillard and Pierre-Yves Le Traon.
J. Geophys. Res., 114, C09007, doi:10.1029/2008JC005237

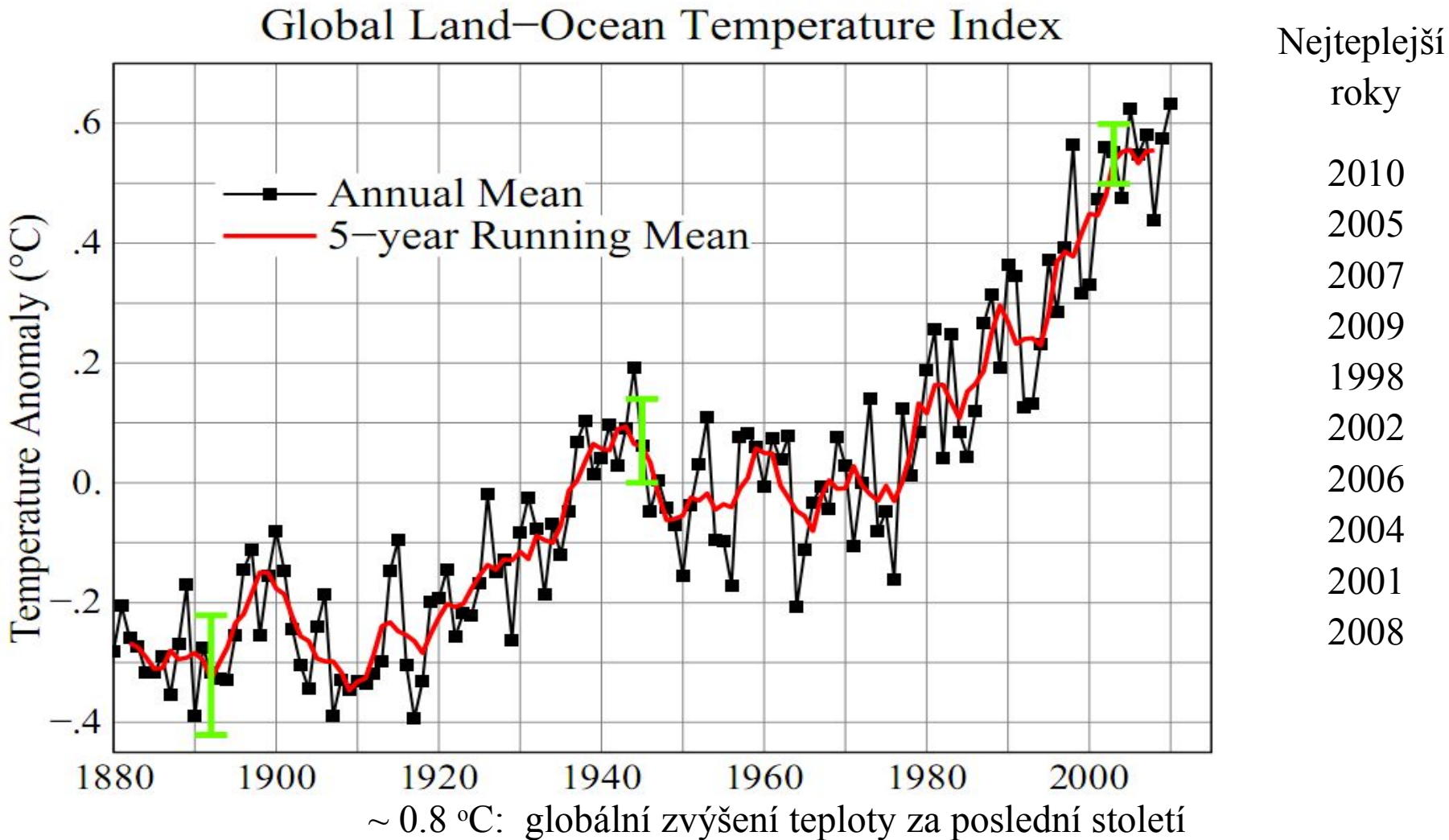




2. Projevy

Země se ohřívá

90. léta byla tehdy nejteplejší zaznamenaná dekáda,
třetí tisíciletí je ještě teplejší



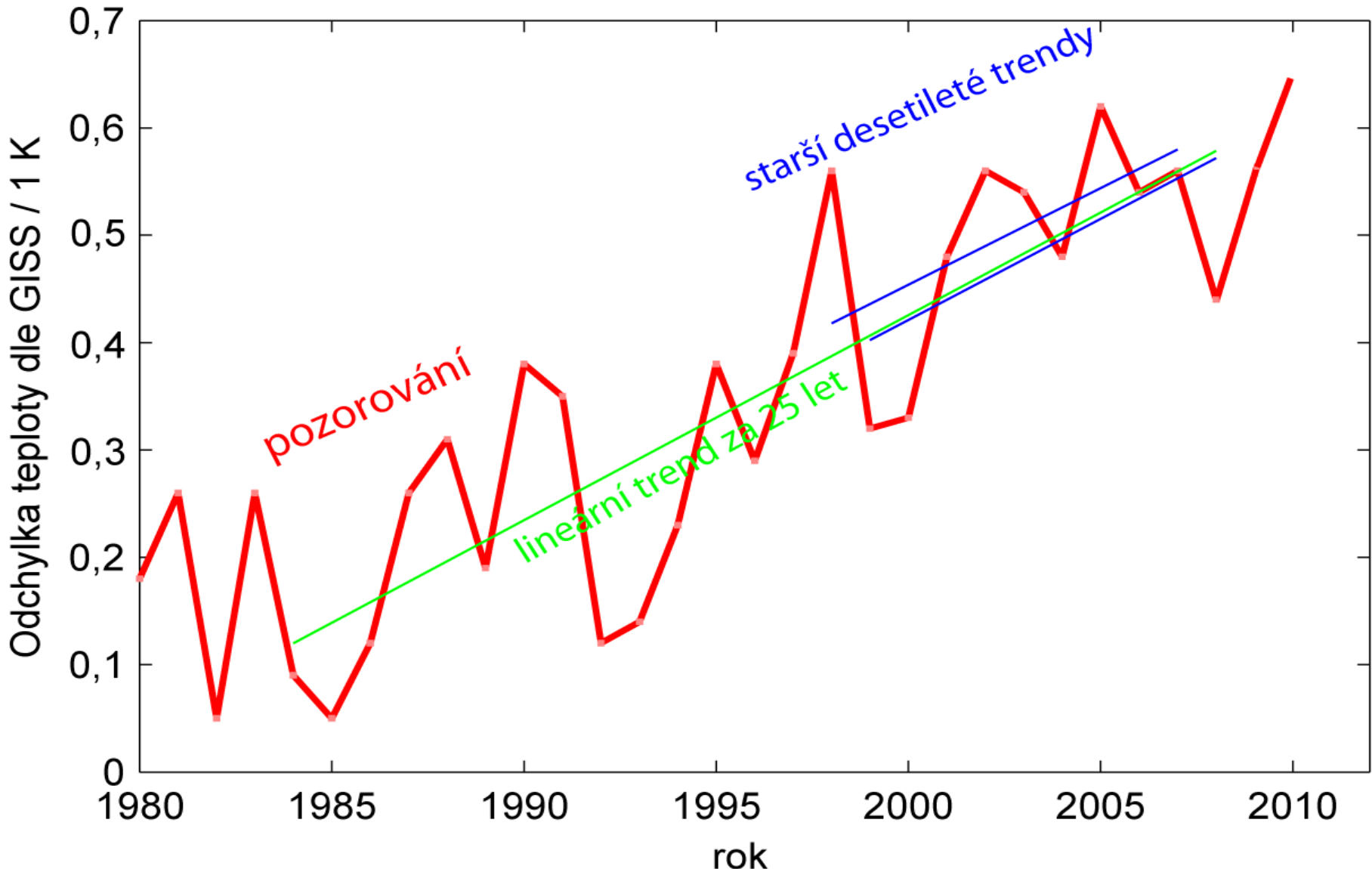
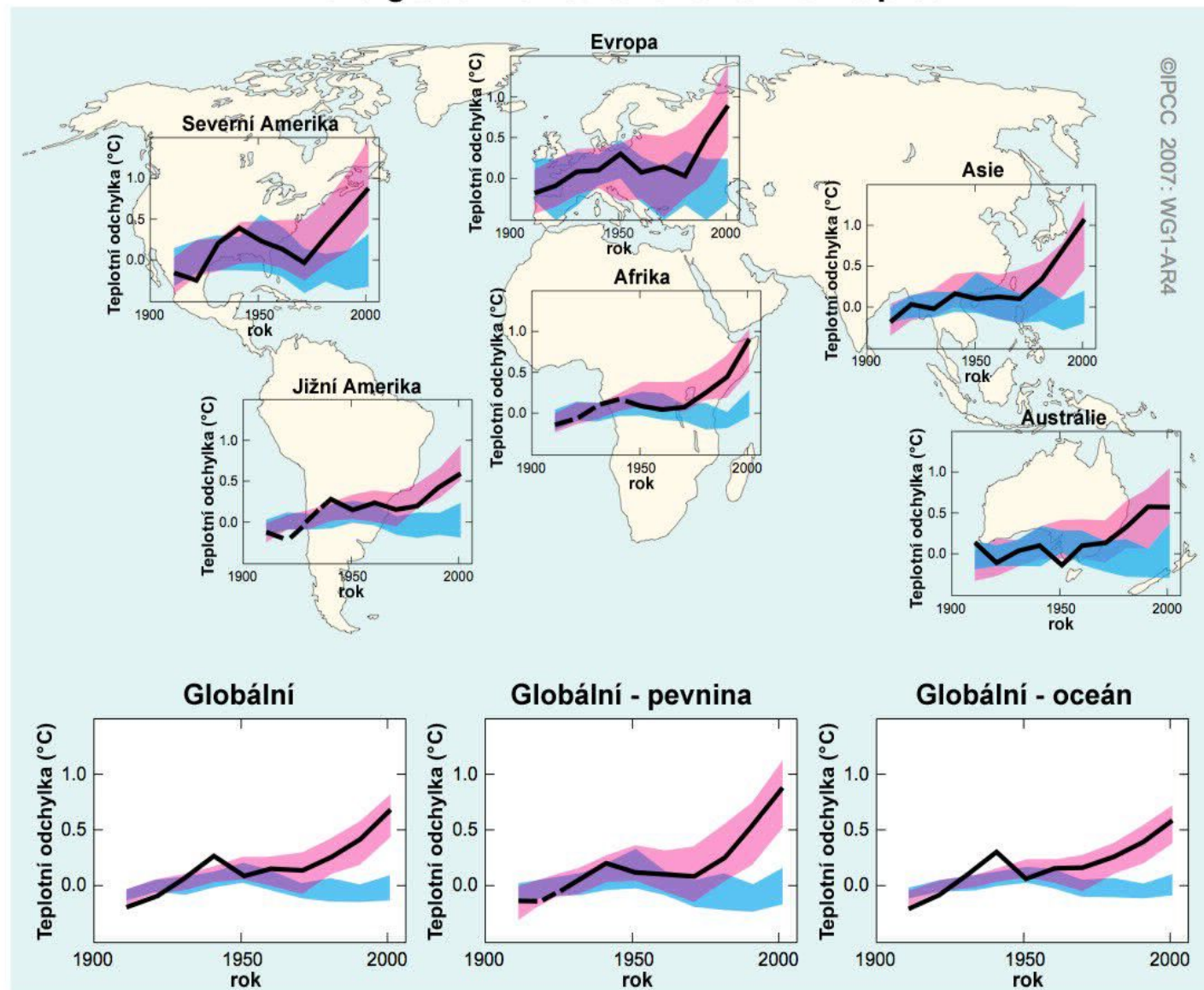


Figure 4: Změna globální teploty od roku 1980 dle údajů GISS

Změna globálních a kontinentálních teplot

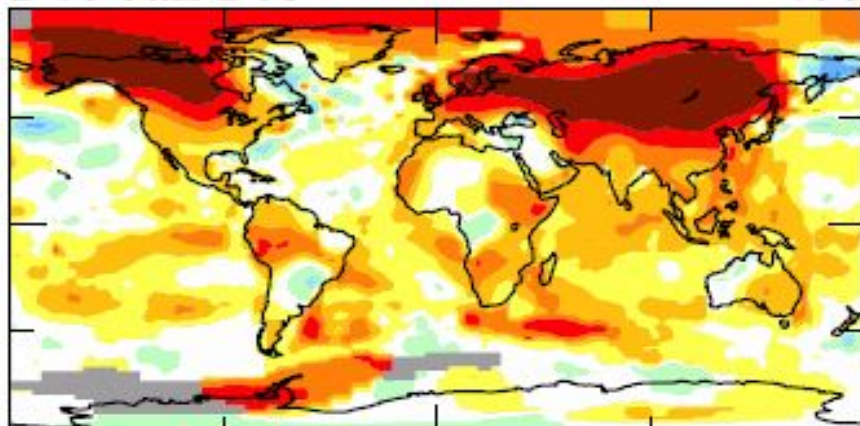


Čtvrtletní trendy od r. 1950

1950-2009 Seasonal Surface Temperature Changes ($^{\circ}\text{C}$)

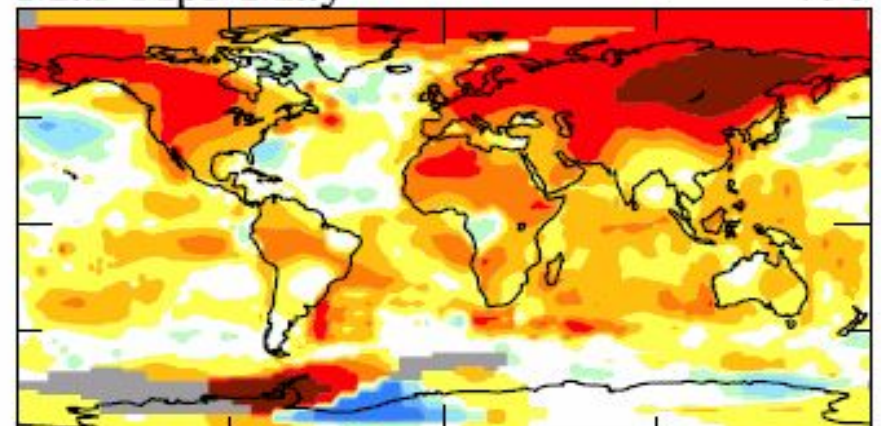
Dec-Jan-Feb

.66



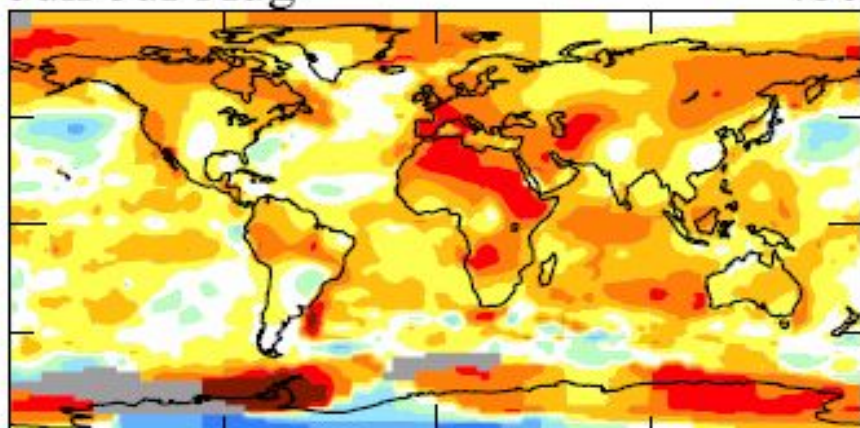
Mar-Apr-May

.66



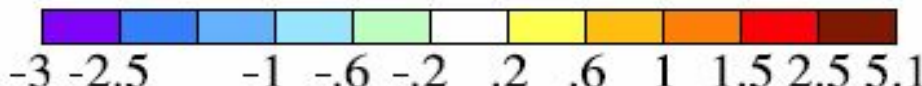
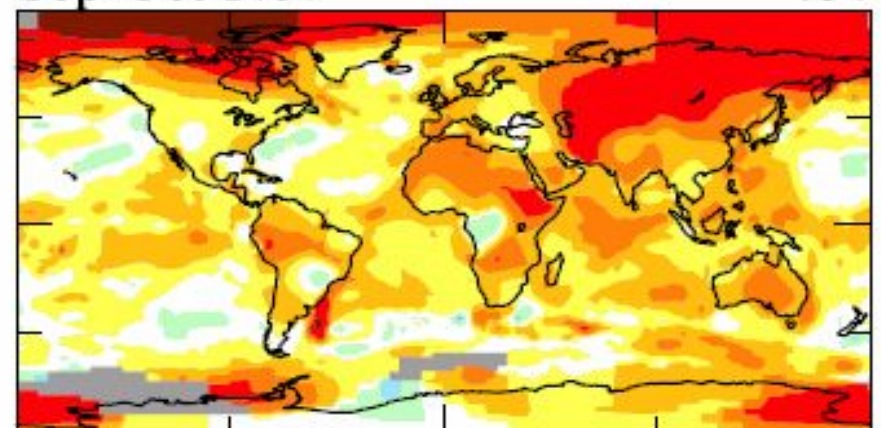
Jun-Jul-Aug

.60

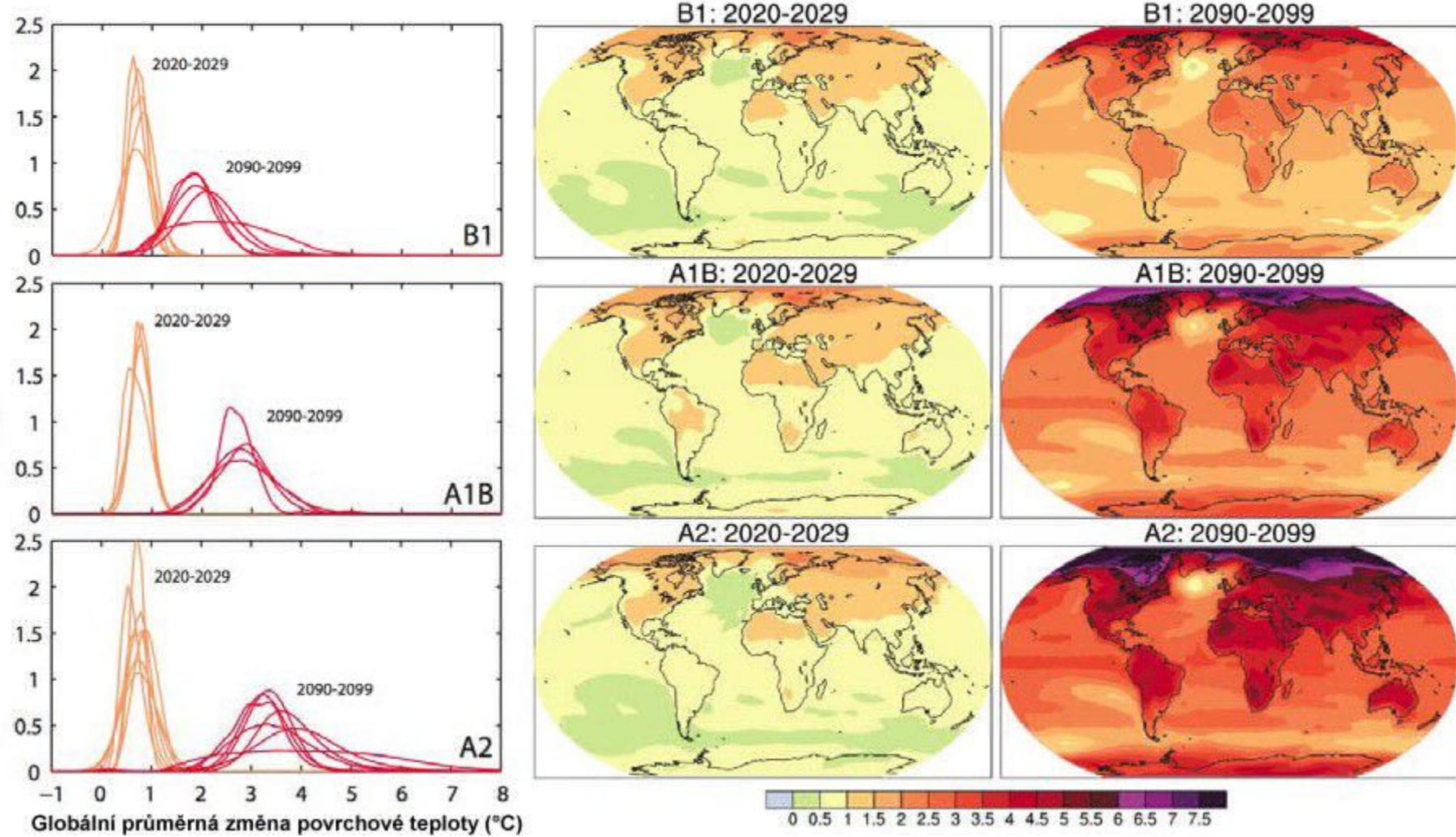


Sep-Oct-Nov

.64



AOGCM projekce povrchových teplot



Horské ledovce tají na celém
světě

Nový Zéland



Mueller Glacier



© Gary Braasch Photography

1911

USA

Grinnell Glacier
Glacier National
Park



© Gary Braasch Photography

2000



© Gary Braasch Photography

1859

Švýcarsko
Rhone Glacier



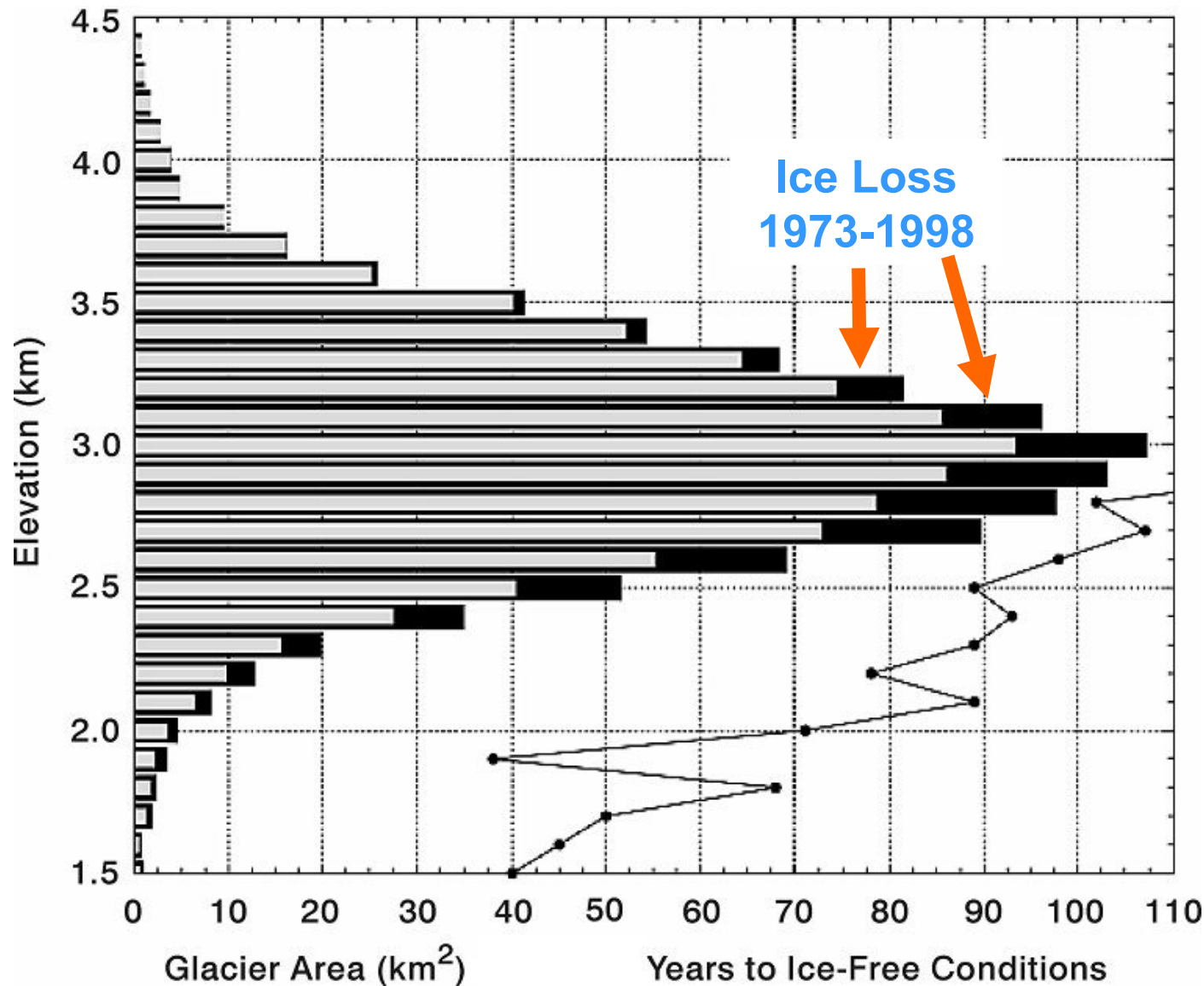
© Gary Braasch Photography

2001

Ledovec Rongbuk



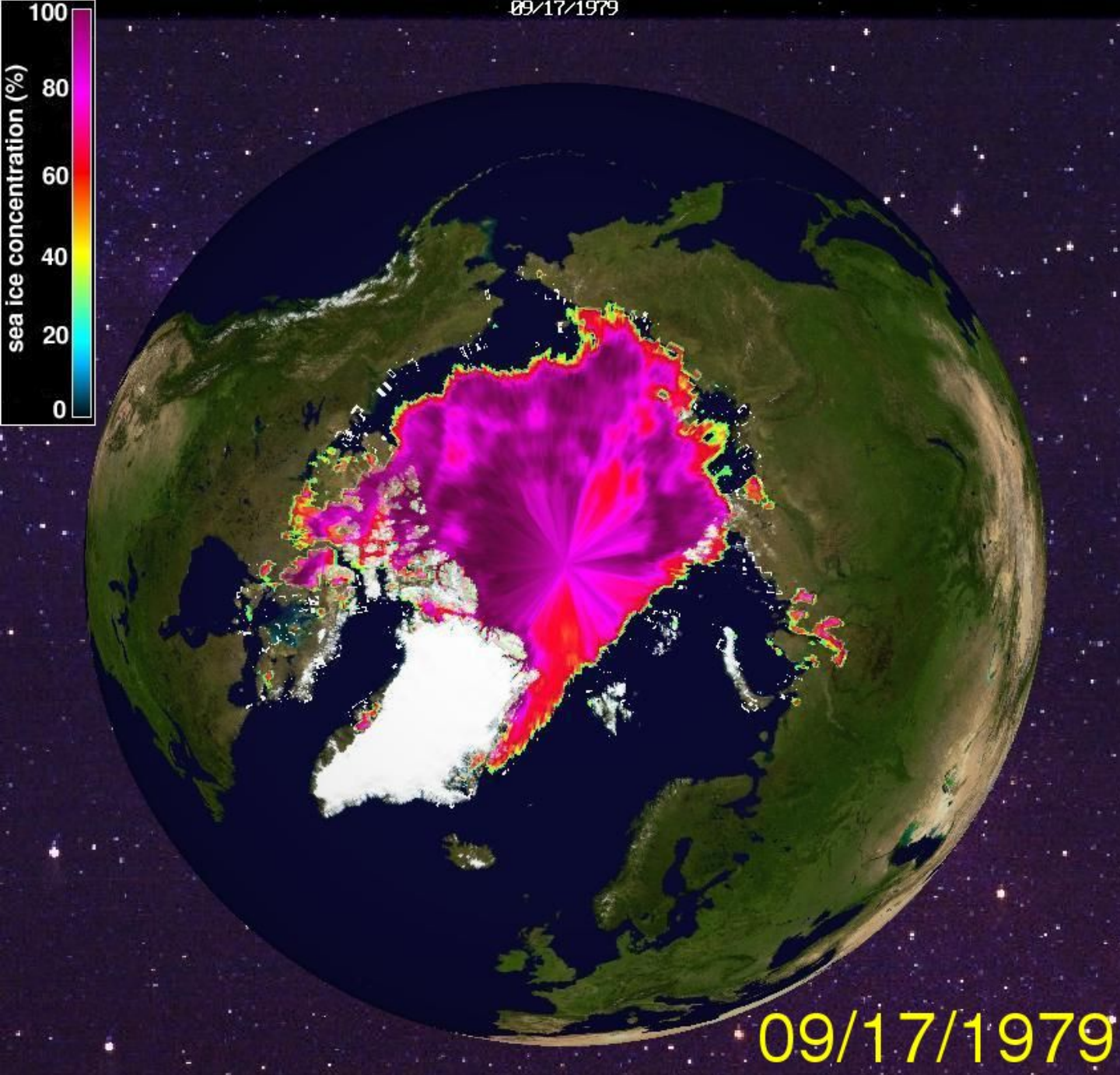
Ledovec v roce 1968 (nahoře) a 2007. Největší ledovec na severním svahu Mount Everestu napájí řeku Rongbuk.



Černě: ztráta ledu od r. 1973 do 1998. Křivka: roky do zániku tímto tempem.

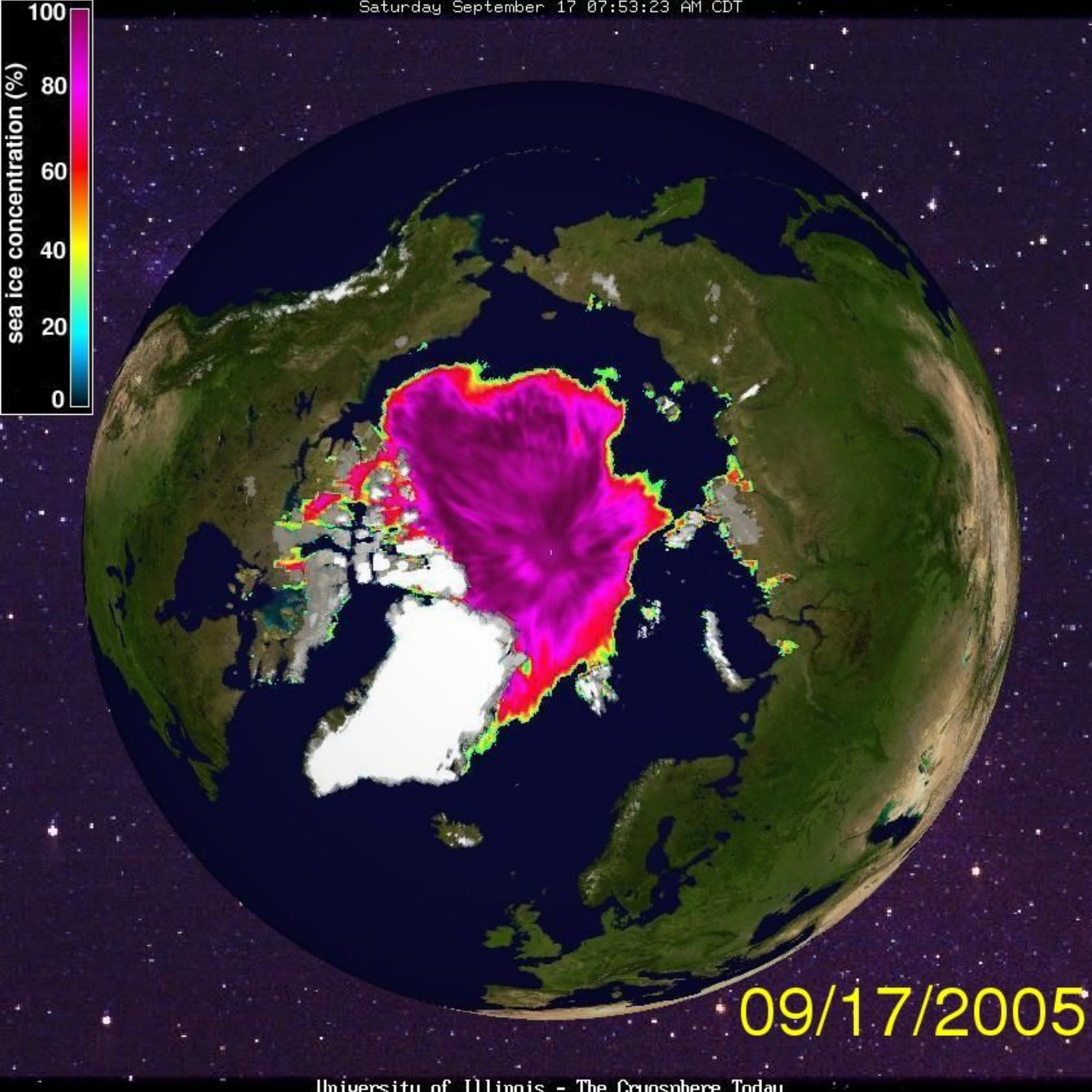
Ztmavnutí povrchu

velká zesilující zpětná vazba



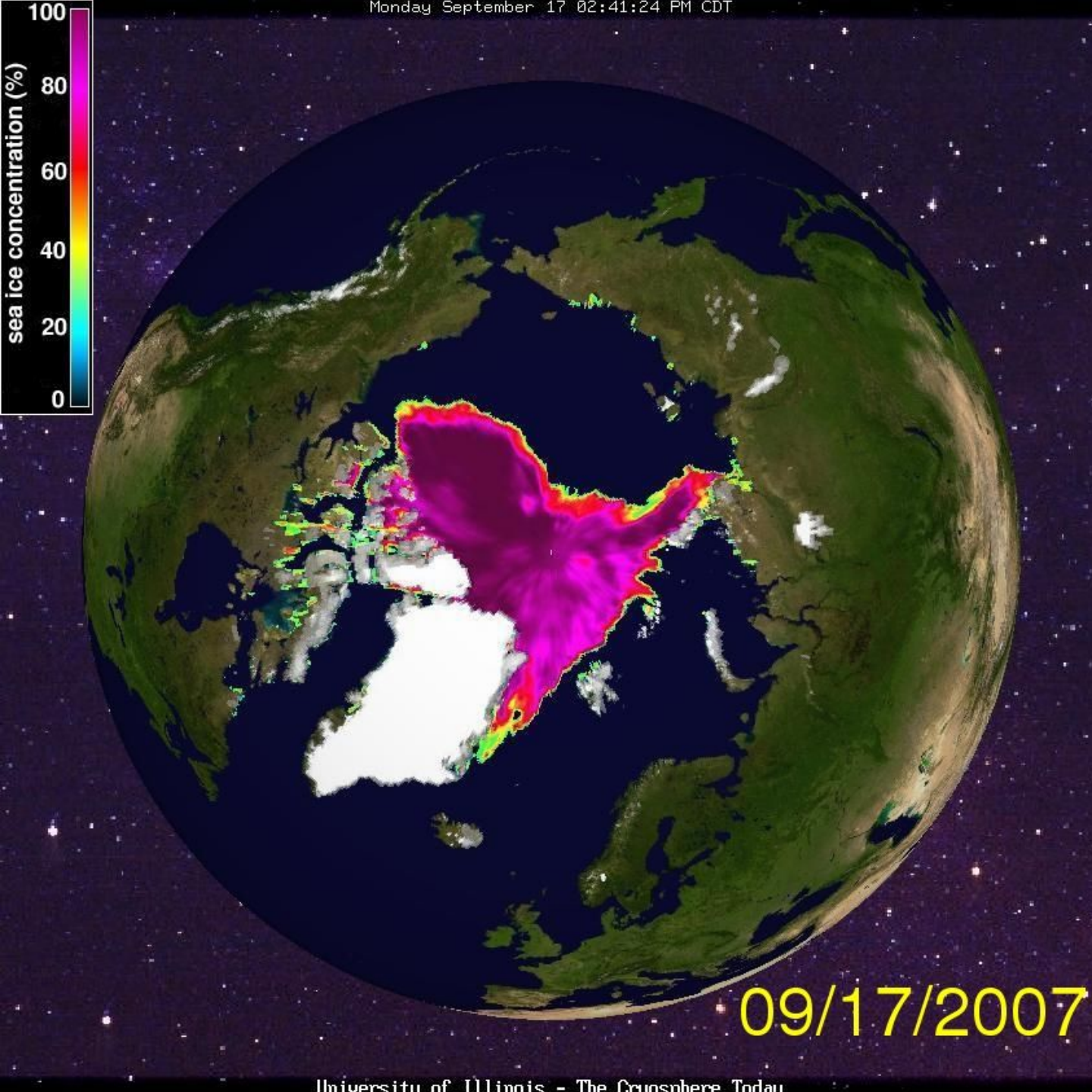
1979
17. září

Arktický
mořský led



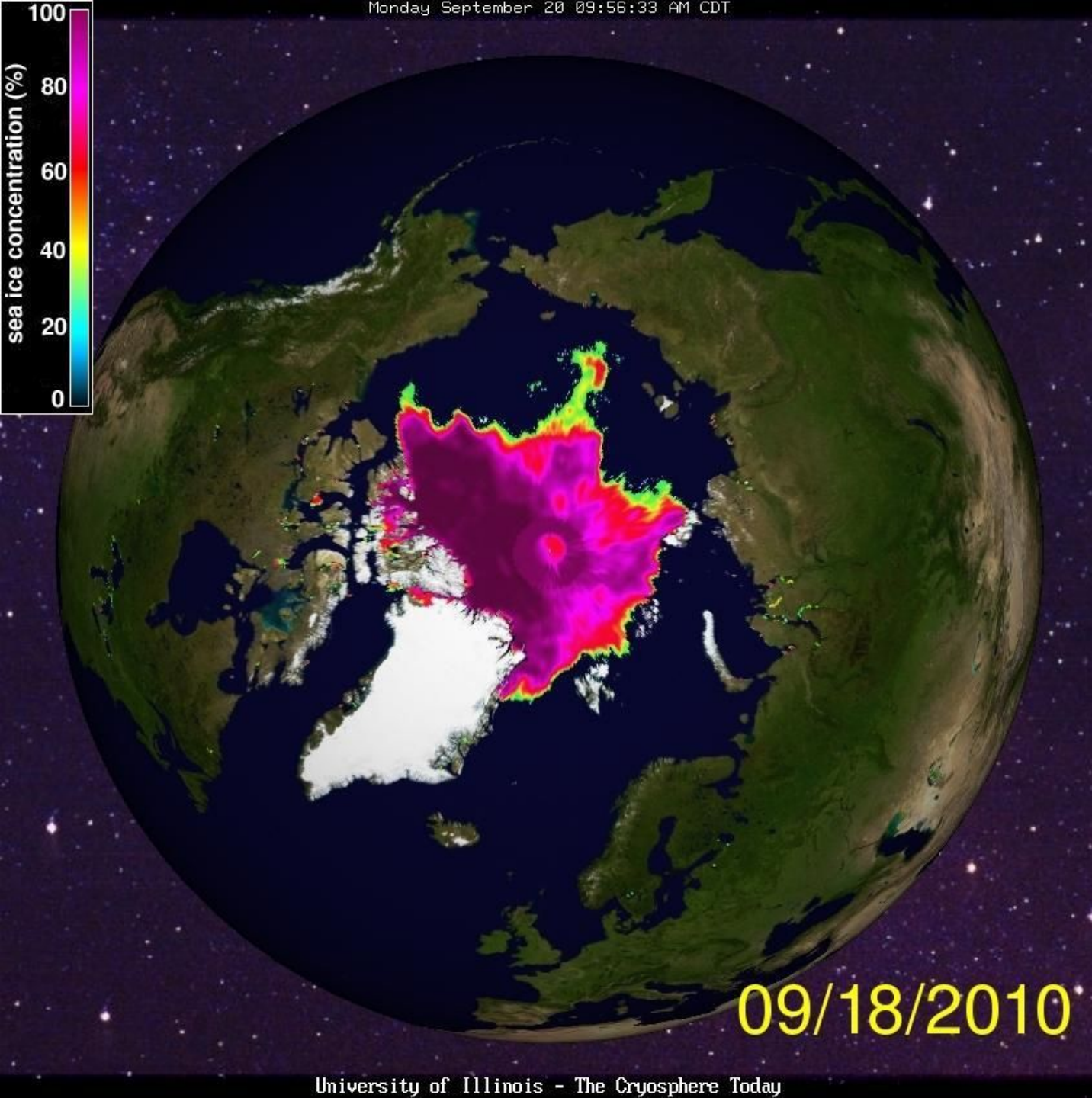
2005
17. září

Arktický
mořský led



2007
17. září

Arktický
mořský led



2010
18. září

Arktický
mořský led

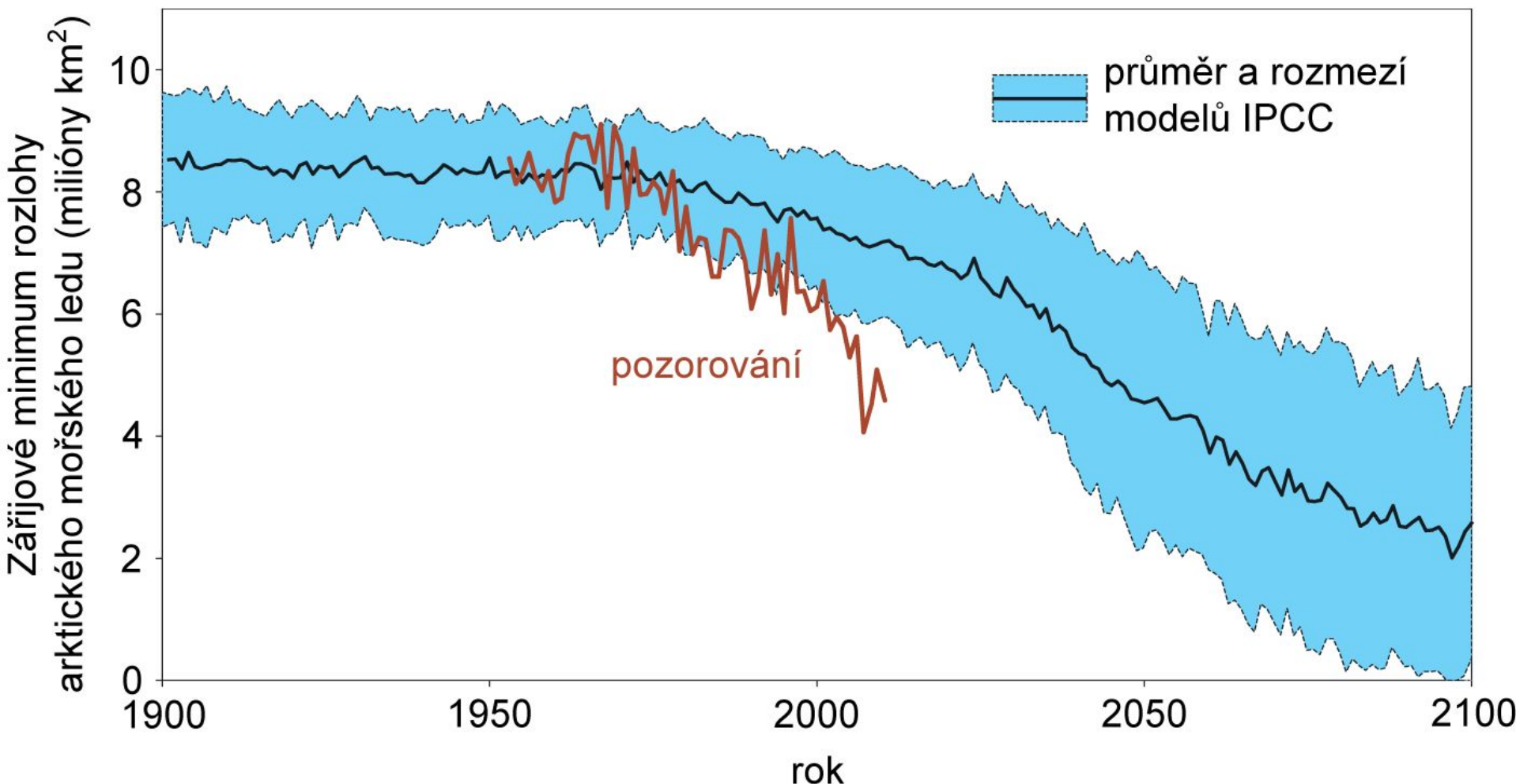
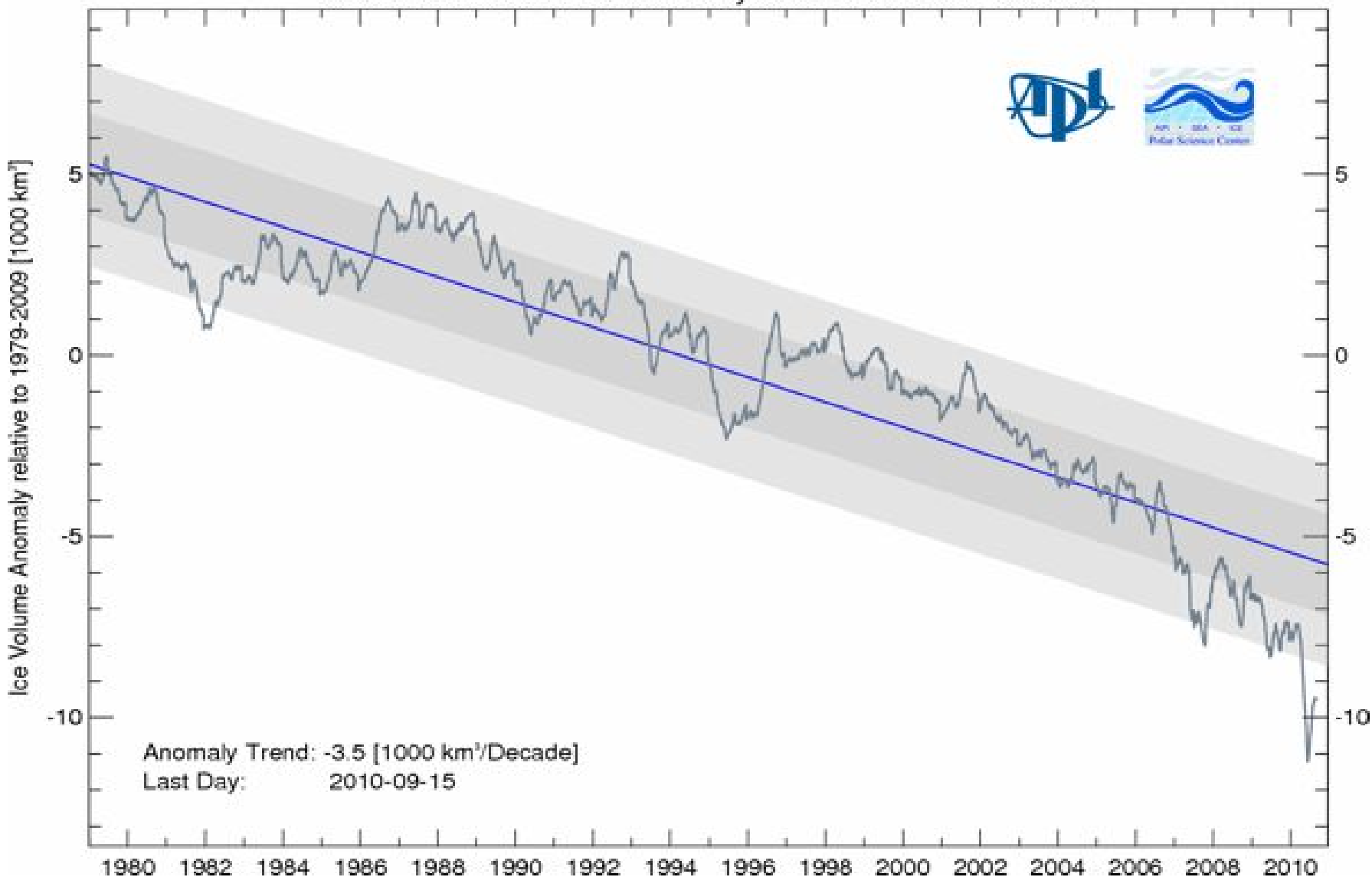


Figure 13: Pozorované a modelované změny rozlohy mořského ledu v Arktidě

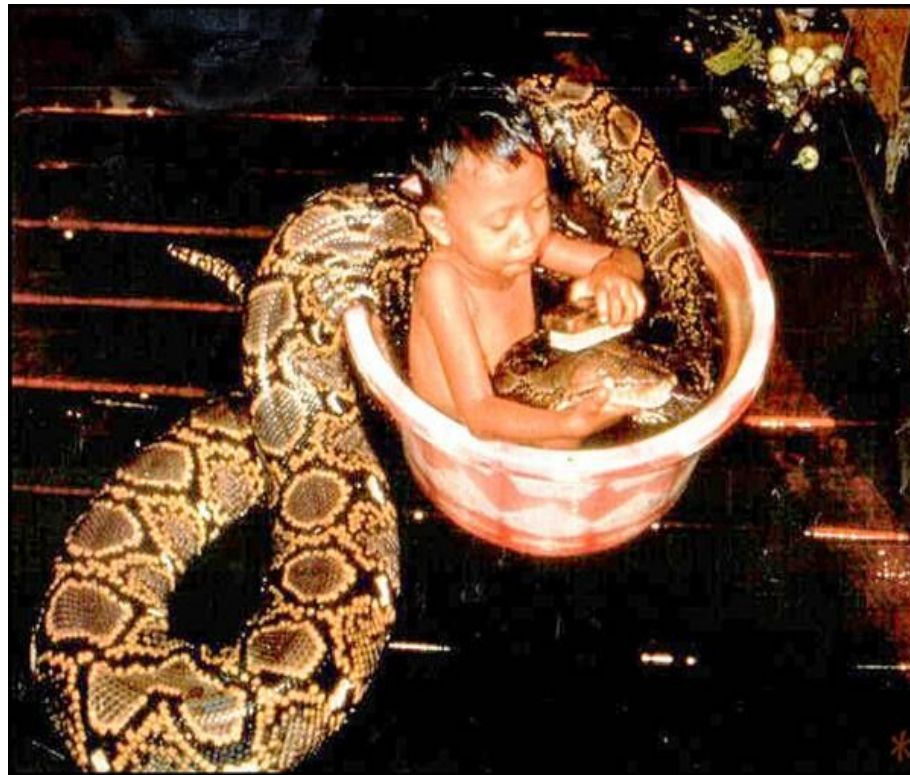
Odchylka objemu arktického mořského ledu od průměru pro daný den

Arctic Sea Ice Volume Anomaly and Trend from PIOMAS



Budoucí rizika

v oteplujícím se světě



riziko

=

pravděpodobnost

x

dopad

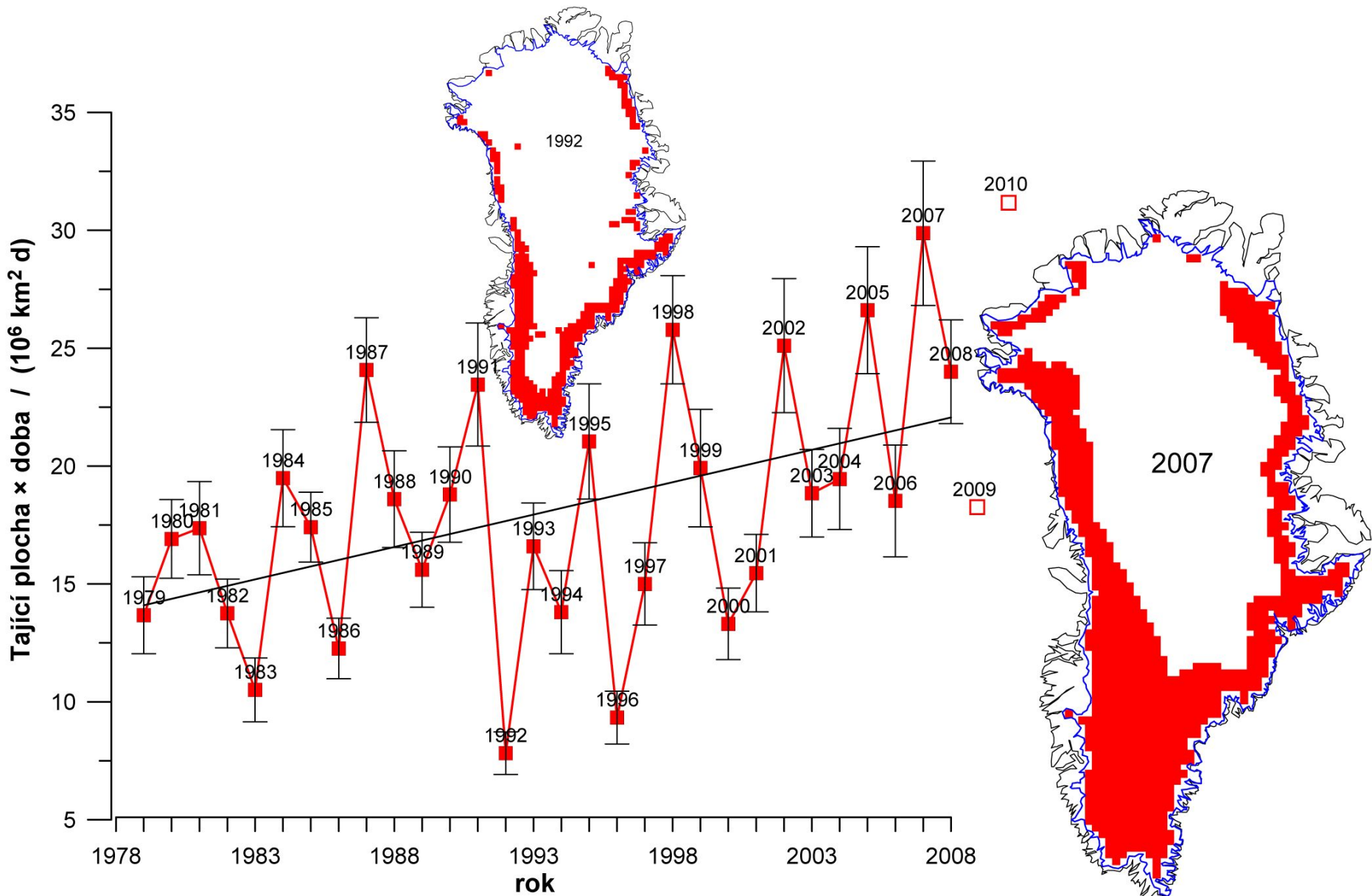
Tání na povrchu Grónska

Vody klesající do „mlýna“, svislé šachty vedoucí na dno ledového příkrovu



*Zdroj: Roger Braithwaite,
University of Manchester (UK)*

Rozloha oblasti tání



Ledový proud Jakobshavn v Grónsku

Odtok z velkých grónských ledových proudů se značně zrychluje



Zdroj: Prof. Konrad Steffen,
Univ. of Colorado

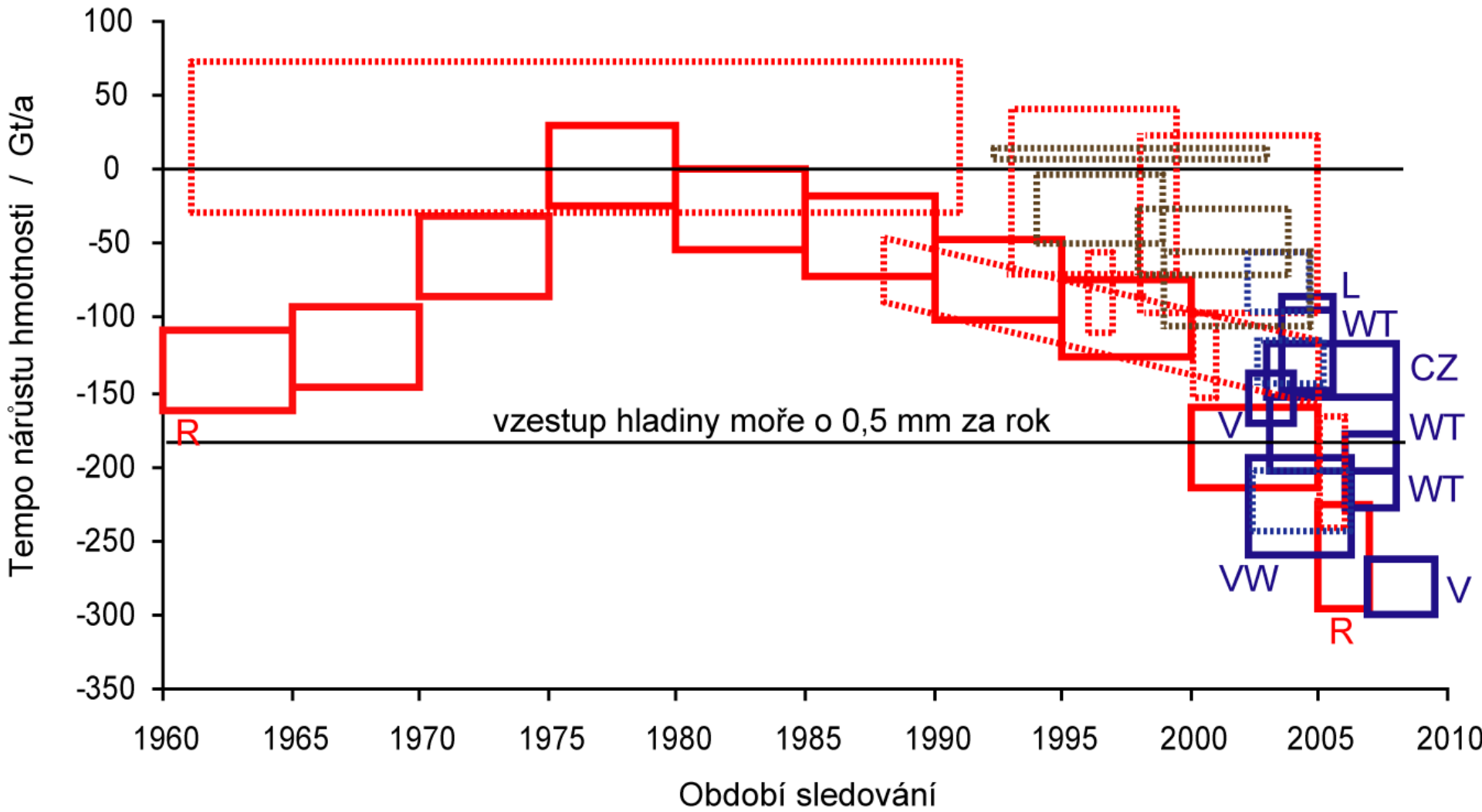


Figure 8: Úbytek hmotnosti ledu v Grónsku od roku 1960, gigatuny za rok

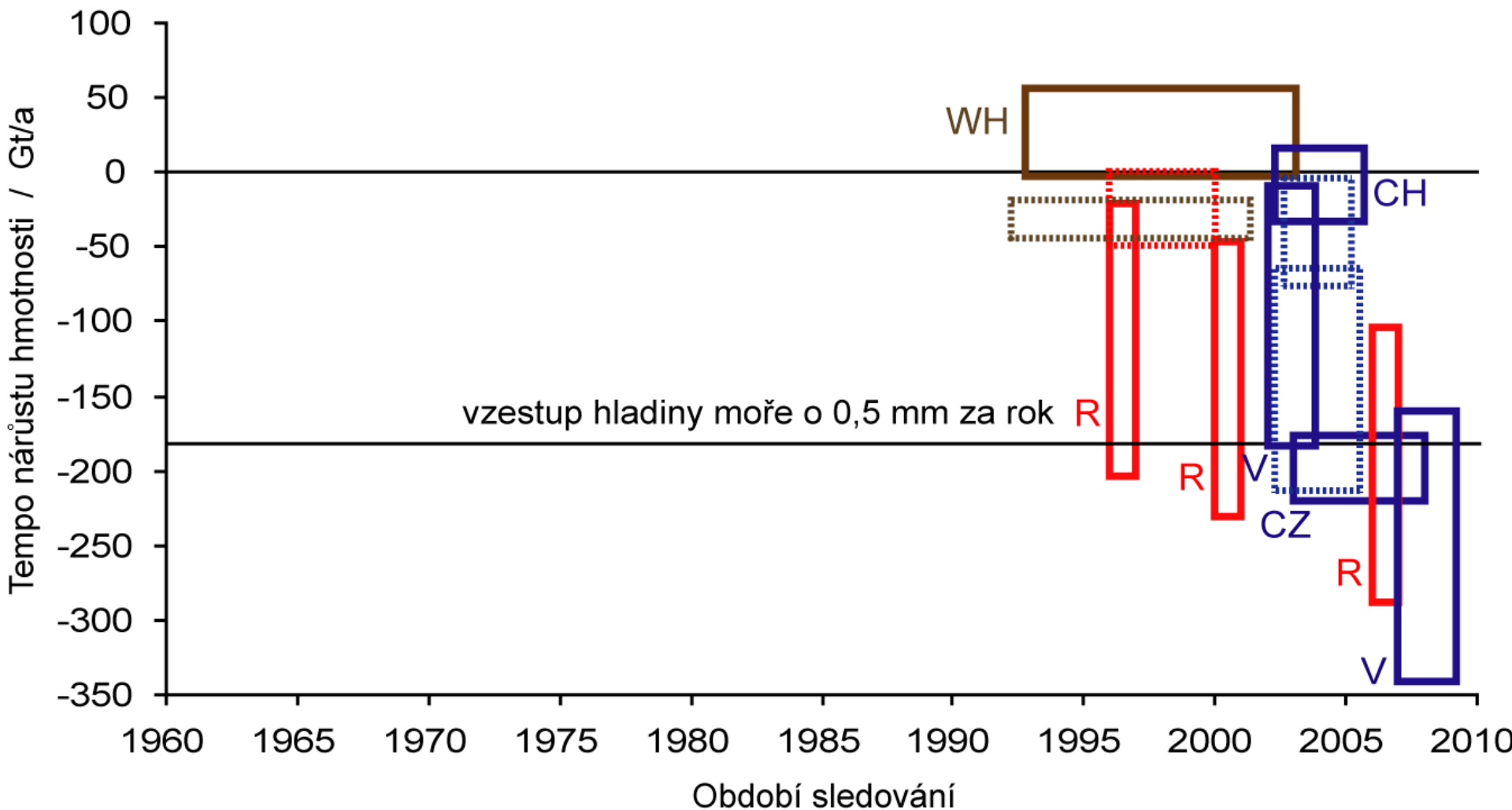
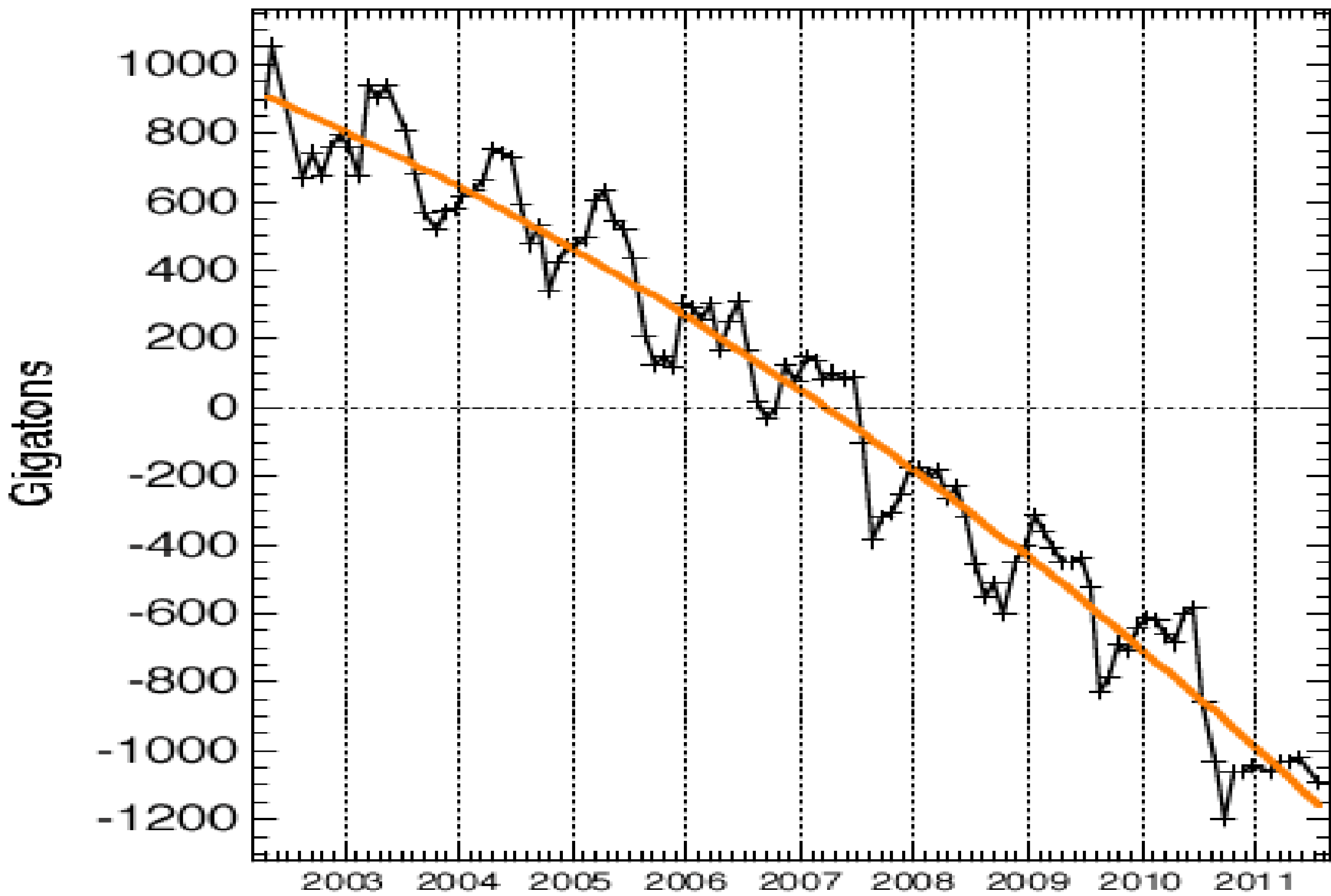
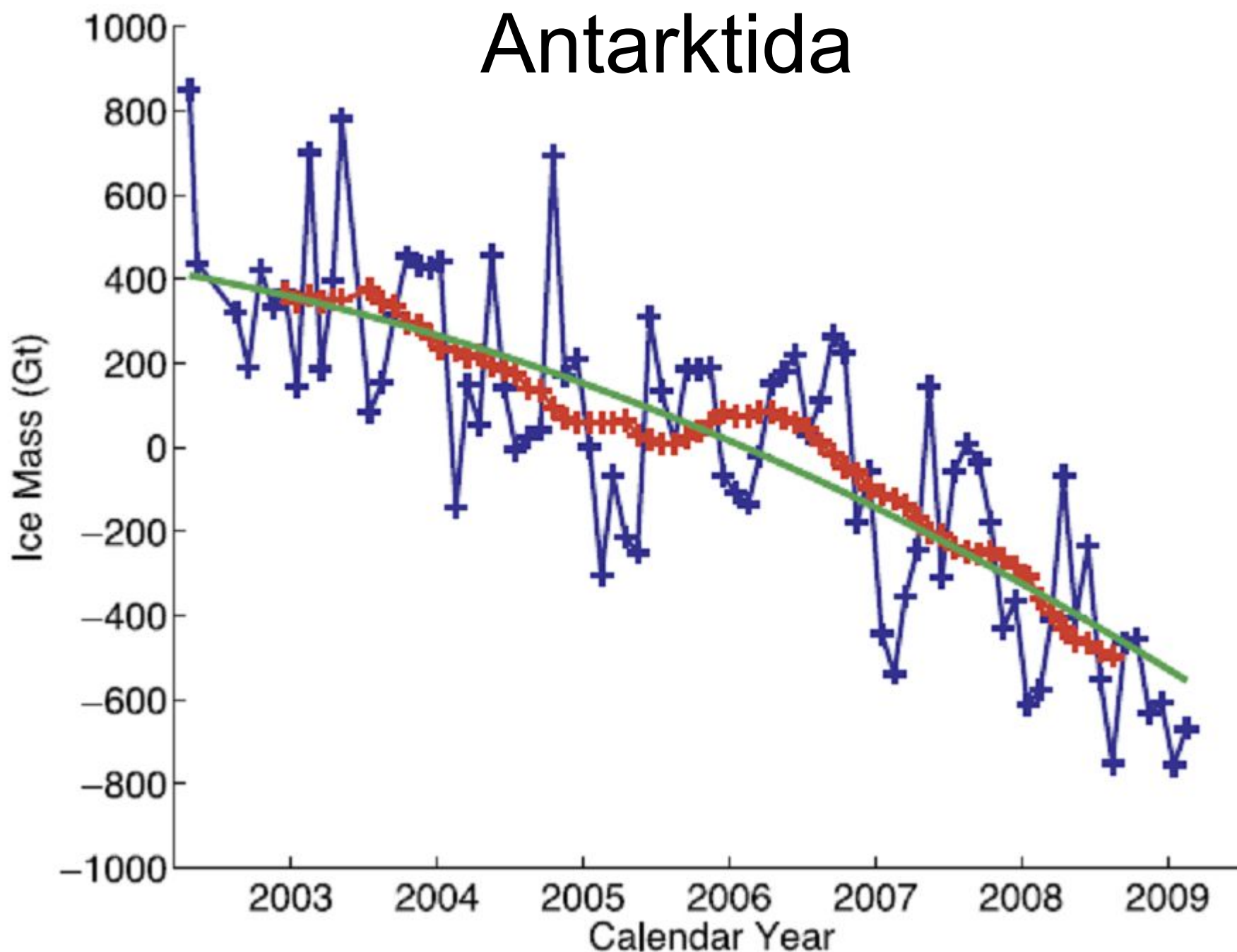


Figure 10: Úbytek hmotnosti ledu v Antarktidě od roku 1960, gigatuny za rok

Greenland



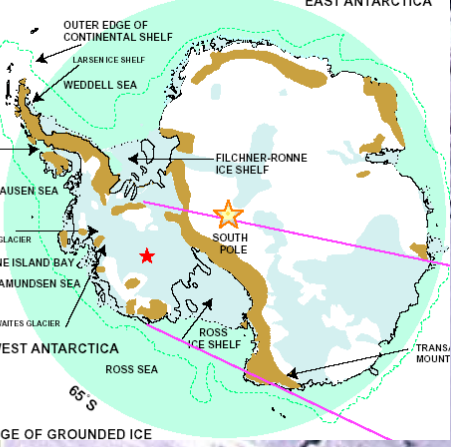
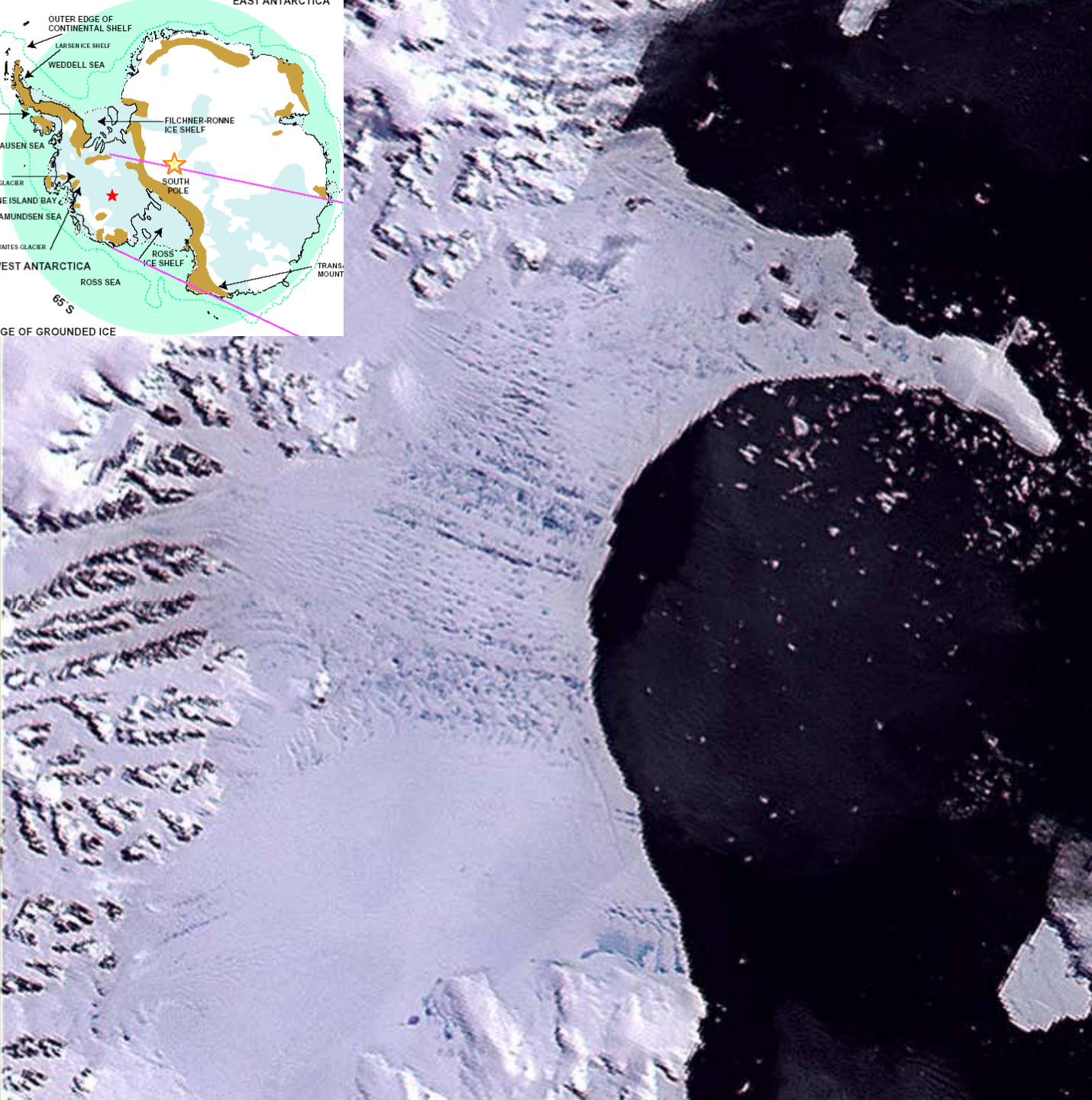
Antarktida



30. leden
2002

Scambos,
NSIDC

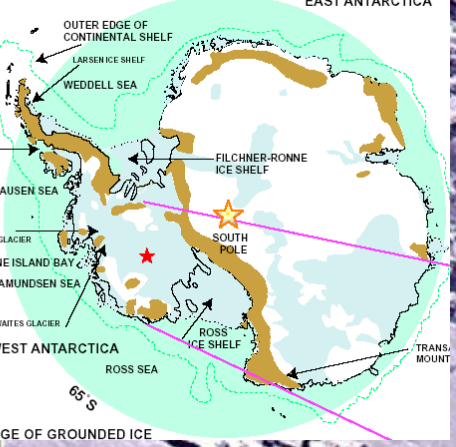
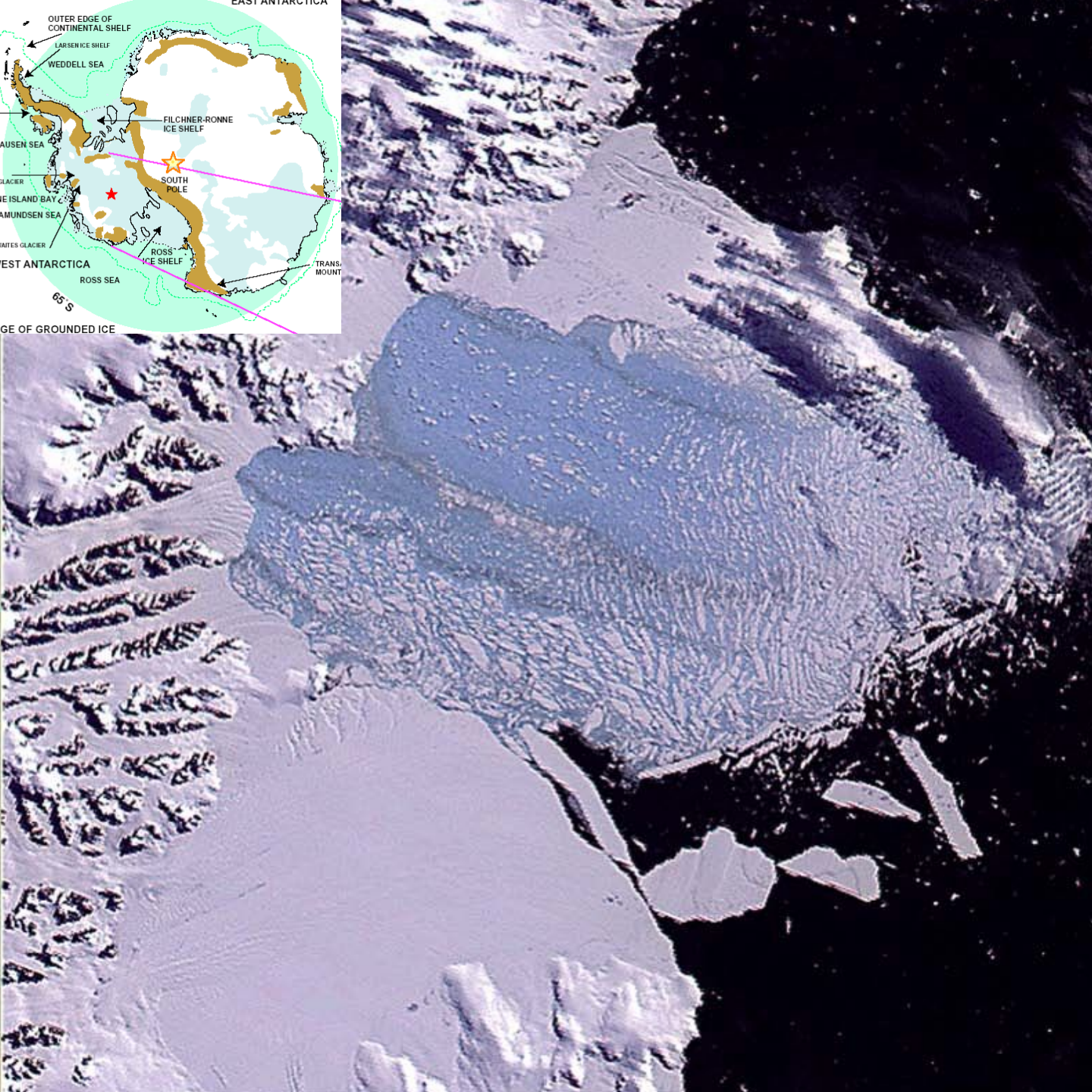
20 km



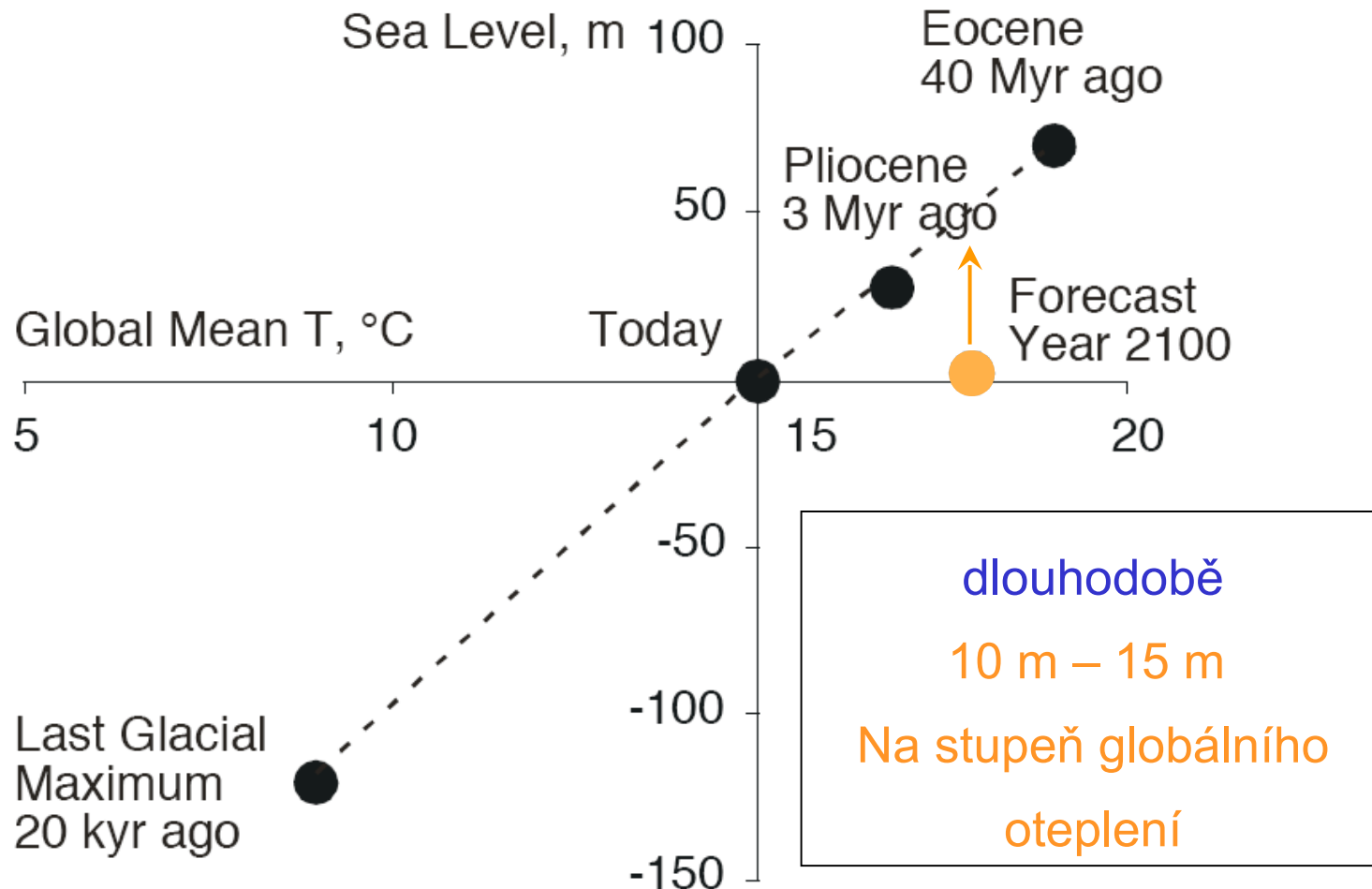
4. březen
2002

Scambos,
NSIDC

20 km



Minulé odchylky mořské hladiny



0 m



1 m



7 m



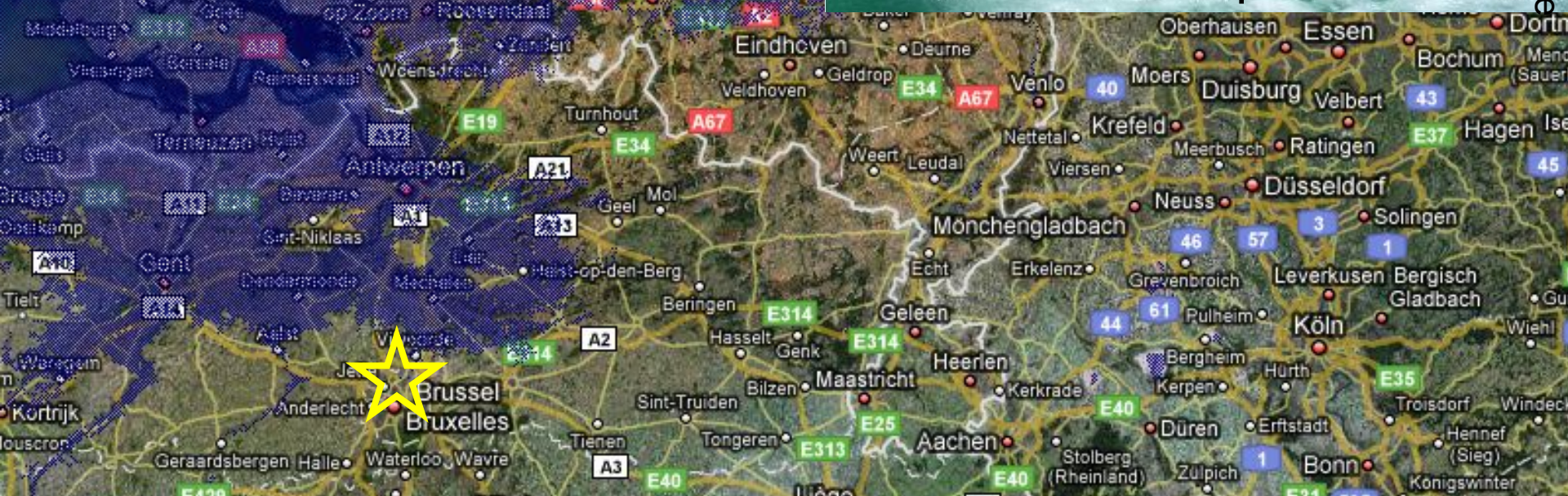
13 m



Holandské krávy připravené na
globální oteplení!



Meze adaptace?



Rizika: Extrémní události

povodně



Teplejší atmosféra pojme více
vlhkosti
(~7%/°C)

➤ Větší srážky v přívalech !

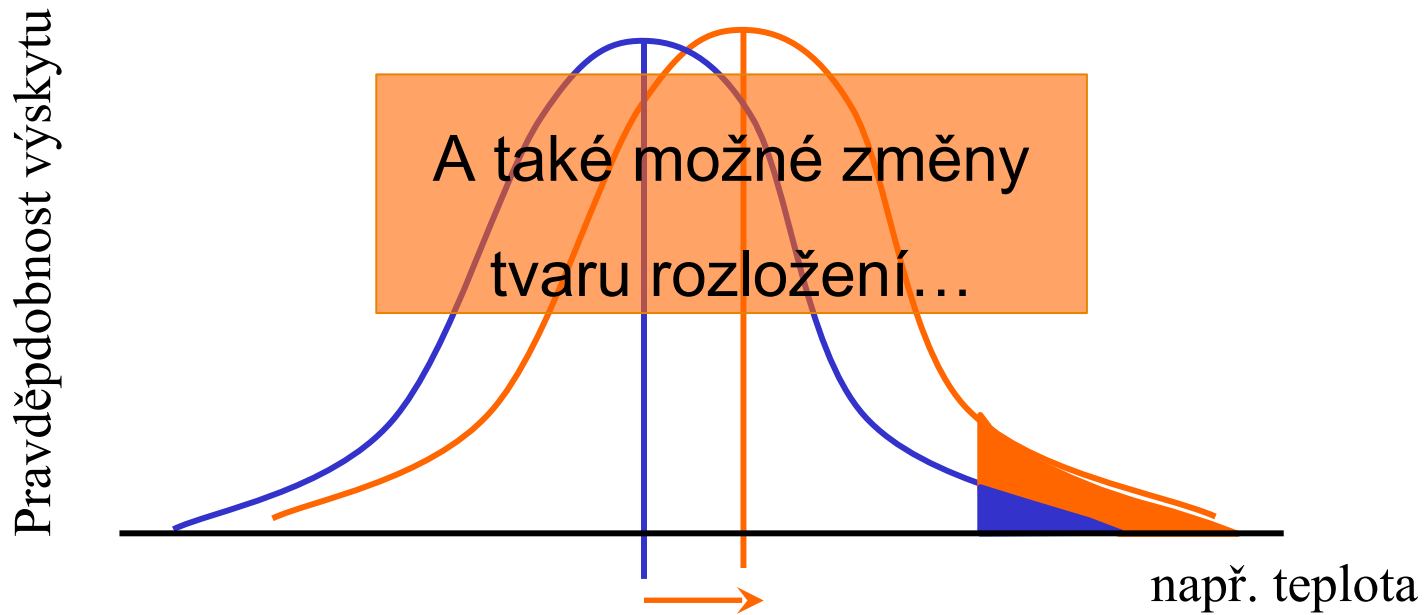
➤ více povodní ?

➤ více such ?



Extrémní události

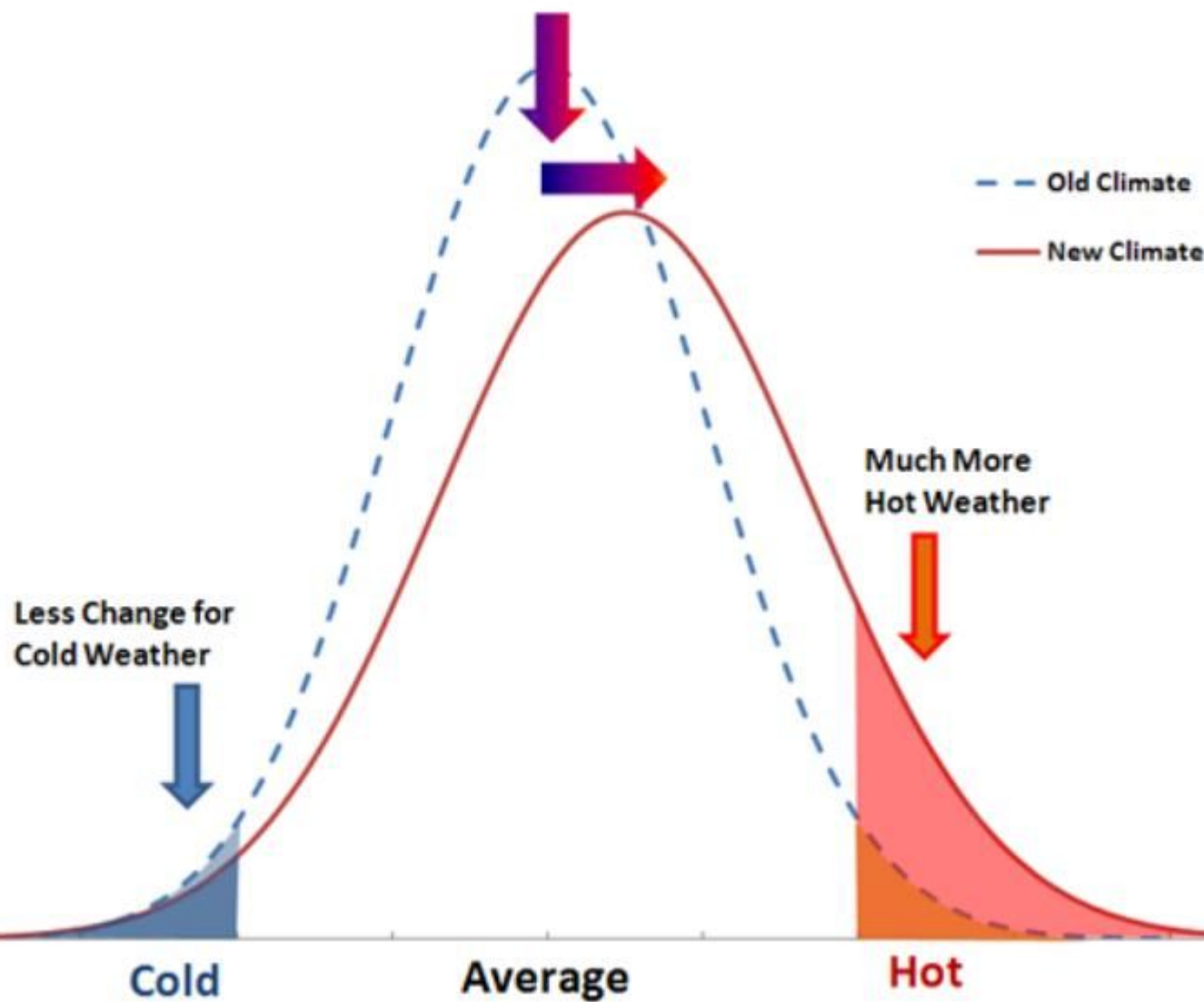
- Rozložení pravděpodobnosti
 - Výskyt extrémních jevů



- malý posun střední hodnoty
- mnohem větší nárůst extrémních událostí

Increase in Mean Temperature and Variance

Probability of Occurrence



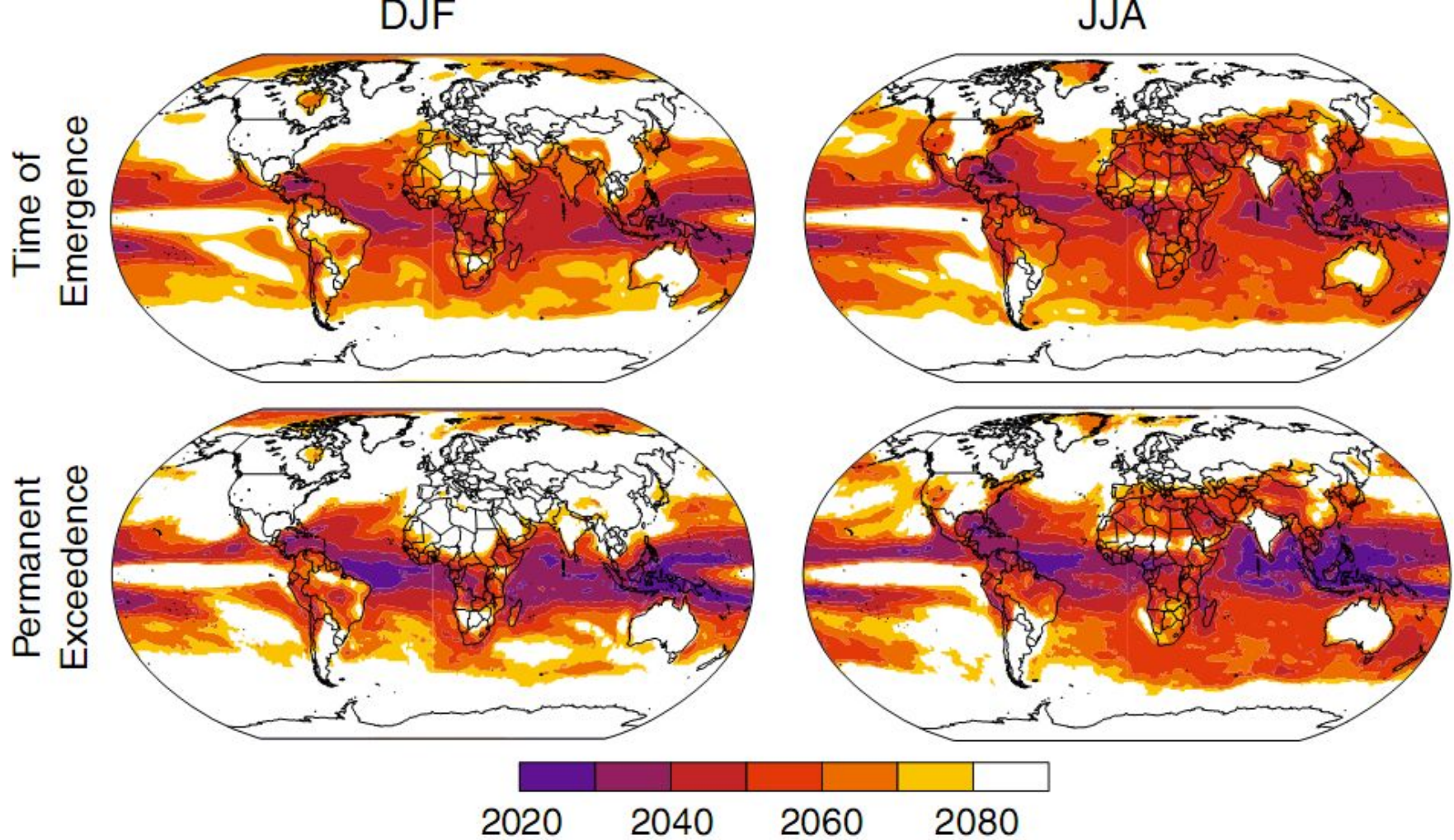
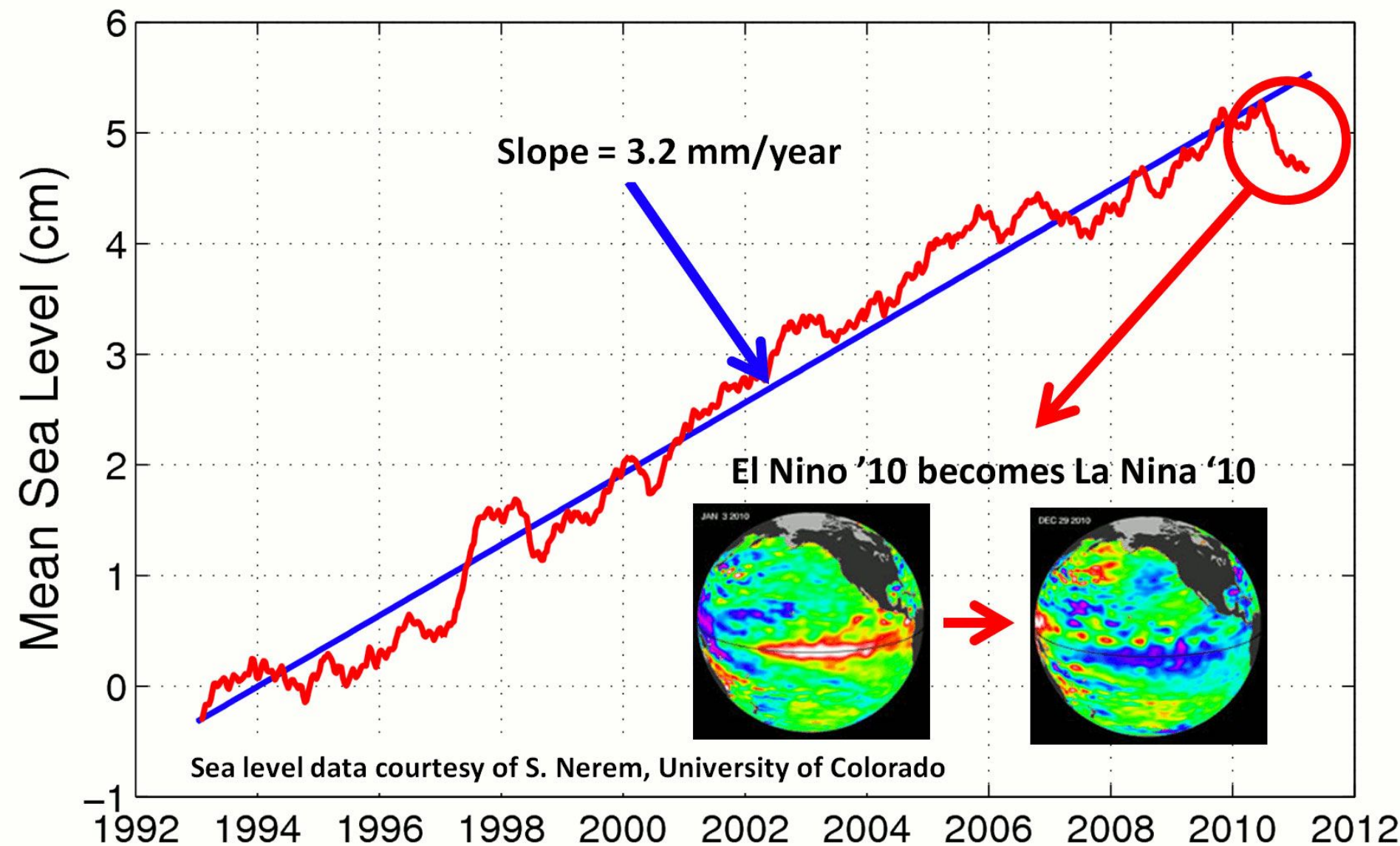


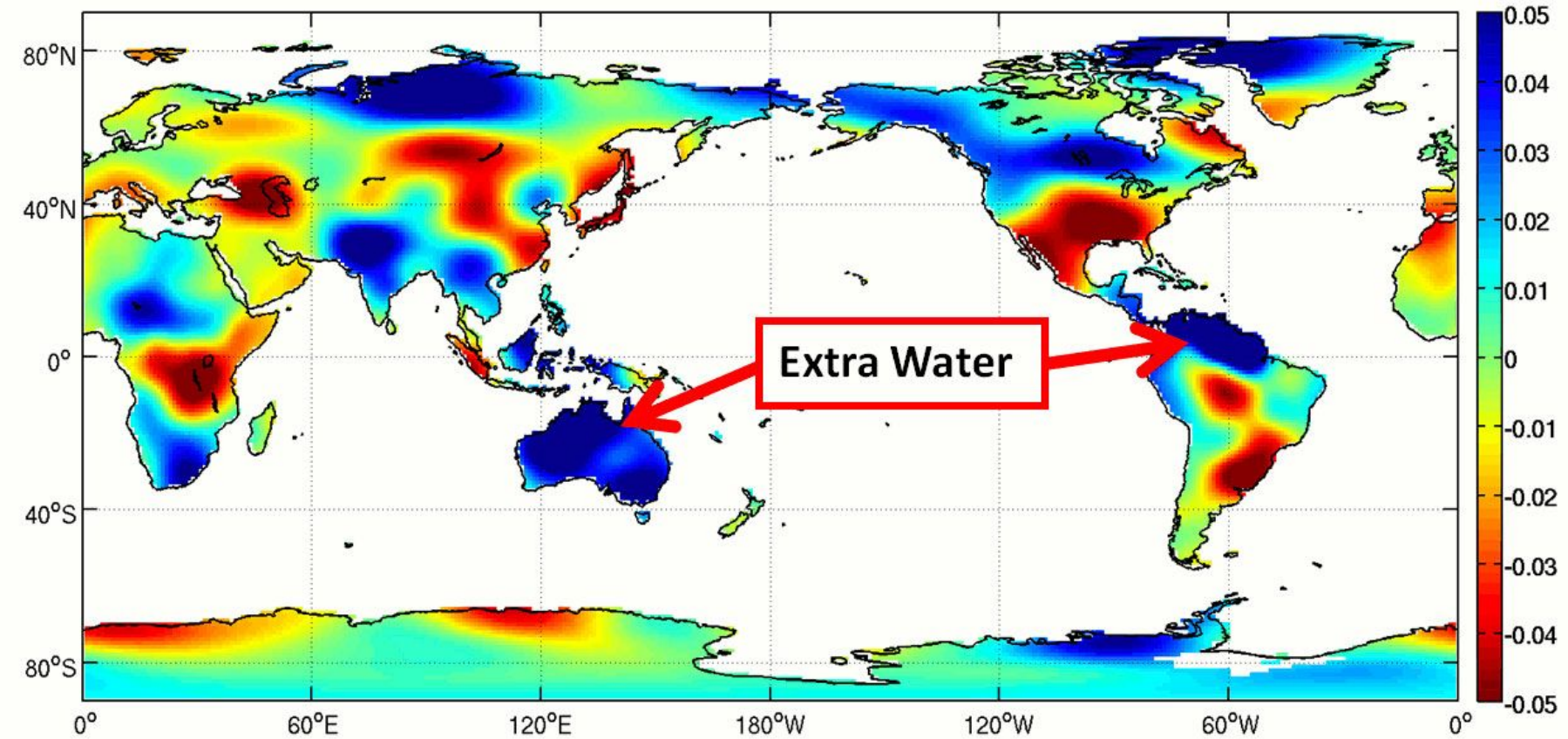
Fig. 2 Decade of emergence of extreme surface air temperature. The *top row* shows the time of emergence (TOE) of the ensemble signal, calculated as the decade in which the ensemble mean seasonal temperature difference from the 1980–1999 maximum becomes permanently greater than the spread (one standard deviation) between the individual member differences from the 1980–1999 maximum. The *second row* shows the decade of the last occurrence of a season that is cooler than the 1980–1999 maximum, calculated as the median of the values across the CMIP3 ensemble. We cannot confirm whether the exceedence is permanent beyond the end of the 21st century, and therefore eliminate dates after 2080. Further details of both metrics are given in the text, and in Fig. S1

Global Sea Level Drops 6 mm in 2010



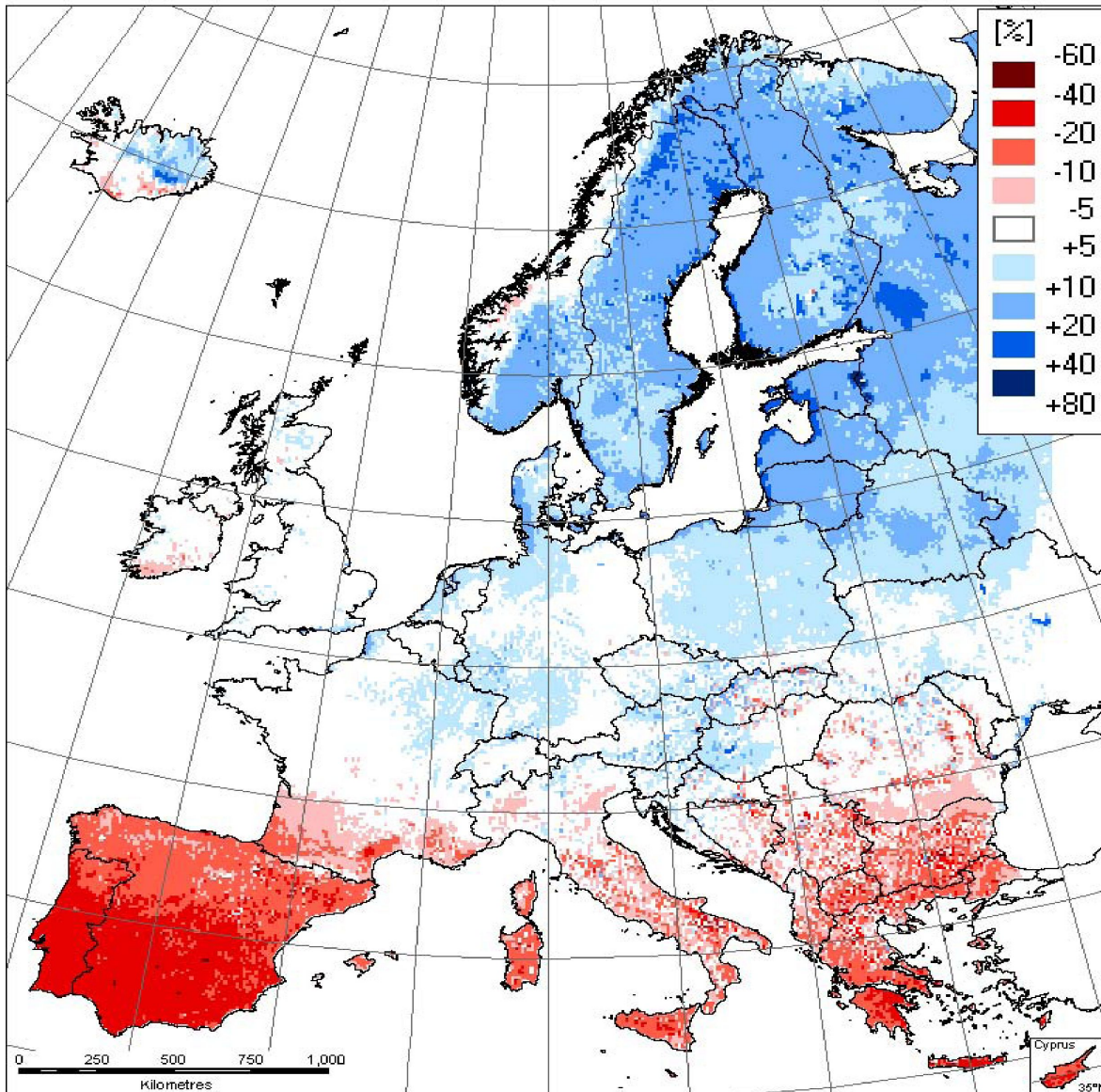
GRACE Shows Change in Water from March 2010 to March 2011

Mass change in meters of water thickness



Projektované změny srážek

Precipitation: change in annual amount [%]



Roční změny v %
(období 2071/2100 ve
srovnání s 1961/1990,
SRES A2)

[http://ec.europa.eu/environment/
climat/adaptation/index_en.htm](http://ec.europa.eu/environment/climat/adaptation/index_en.htm)

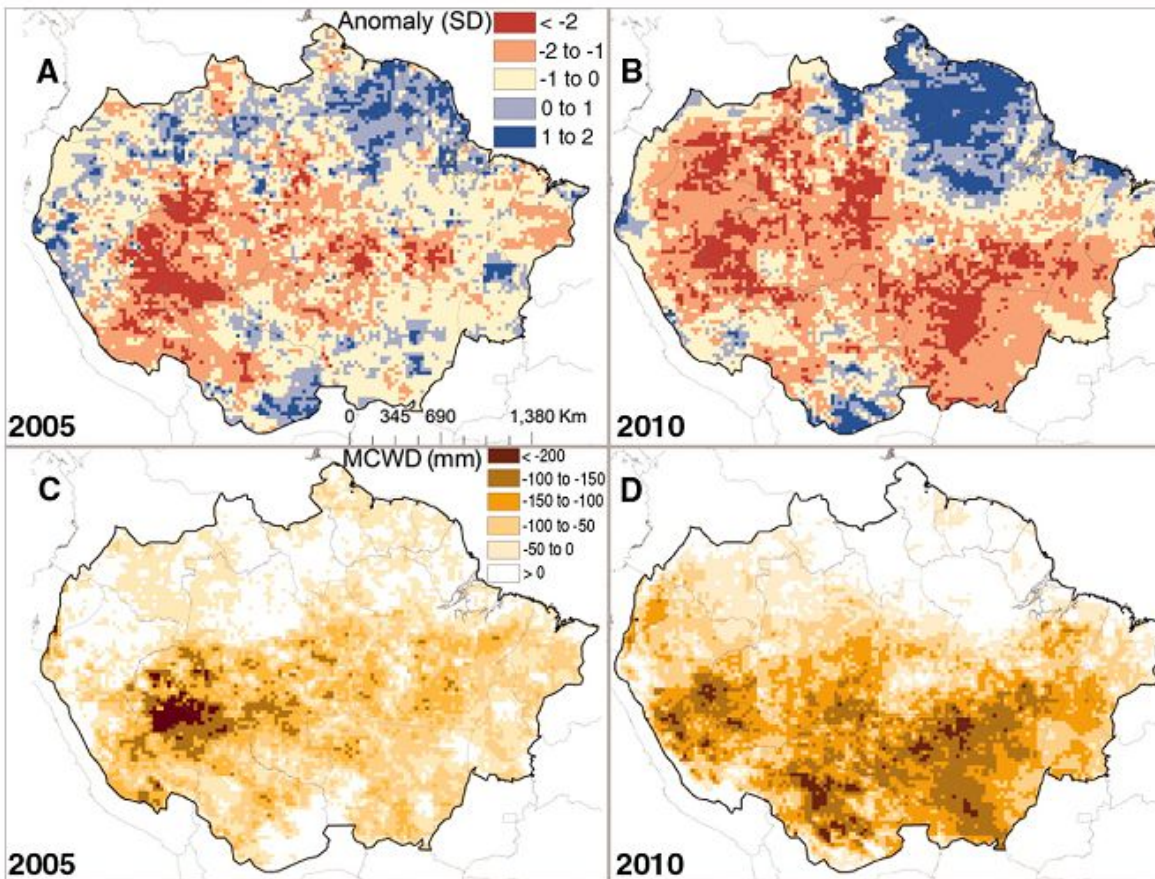


Wild fires in Greece, August 2007

Source: spiegel.de



Amazon – from carbon sink to carbon source? - the 2005 & 2010 droughts



A & B = anomaly of dry season rainfall from decadal mean

C & D = maximum climatological water deficit from decadal mean

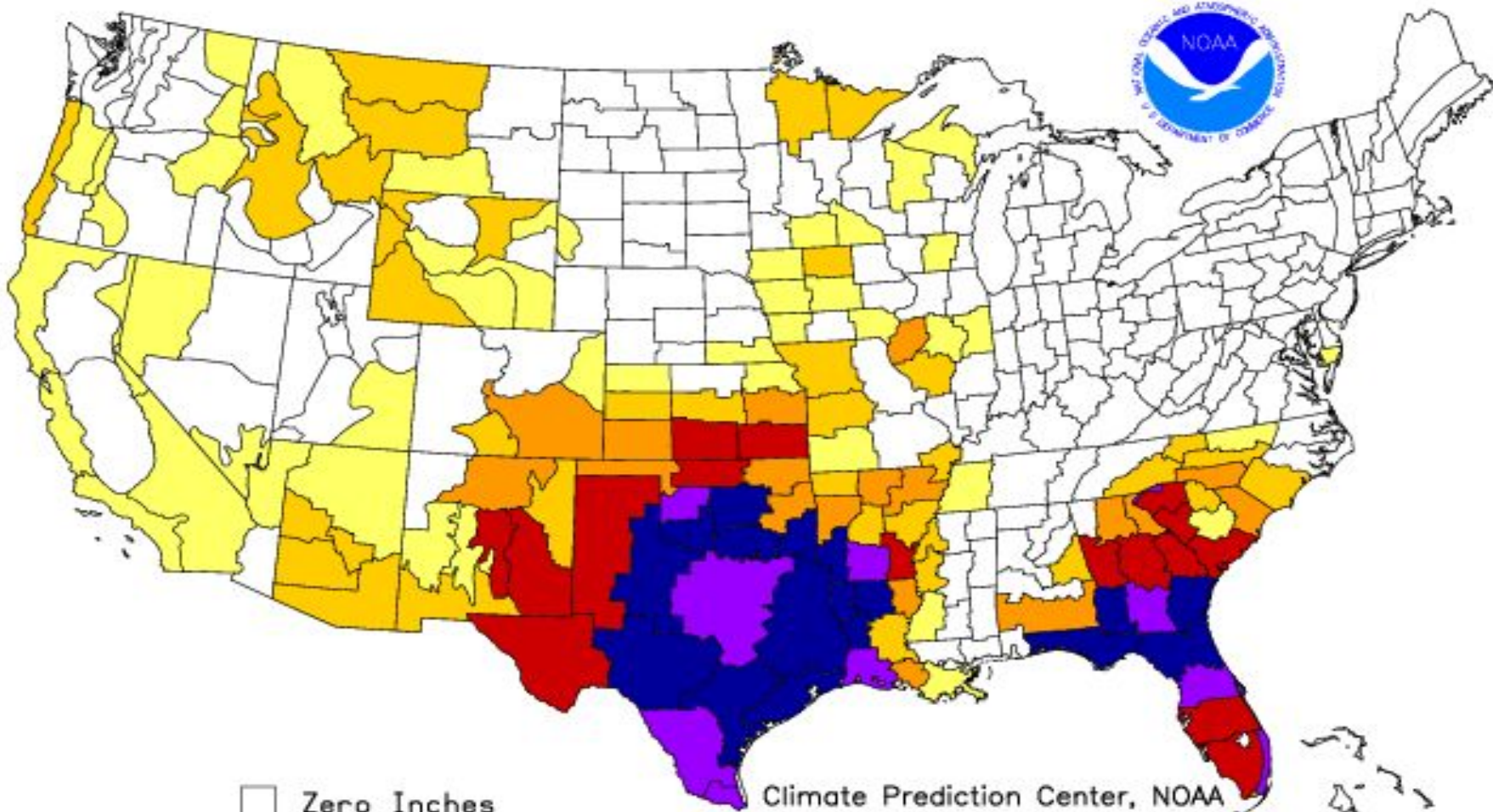
2010 emissions release due to drought may have been in excess of 5 billion tonnes CO₂

= US total annual fossil-fuel emissions

Additional Precip. Needed (In.) to Bring PDI to -0.5

Weekly Value for Period Ending OCT 1, 2011

Long Term Palmer Drought Severity Index (PDI)



Zero Inches

Trace to 3 Inches

3 to 6 Inches

6 to 9 Inches

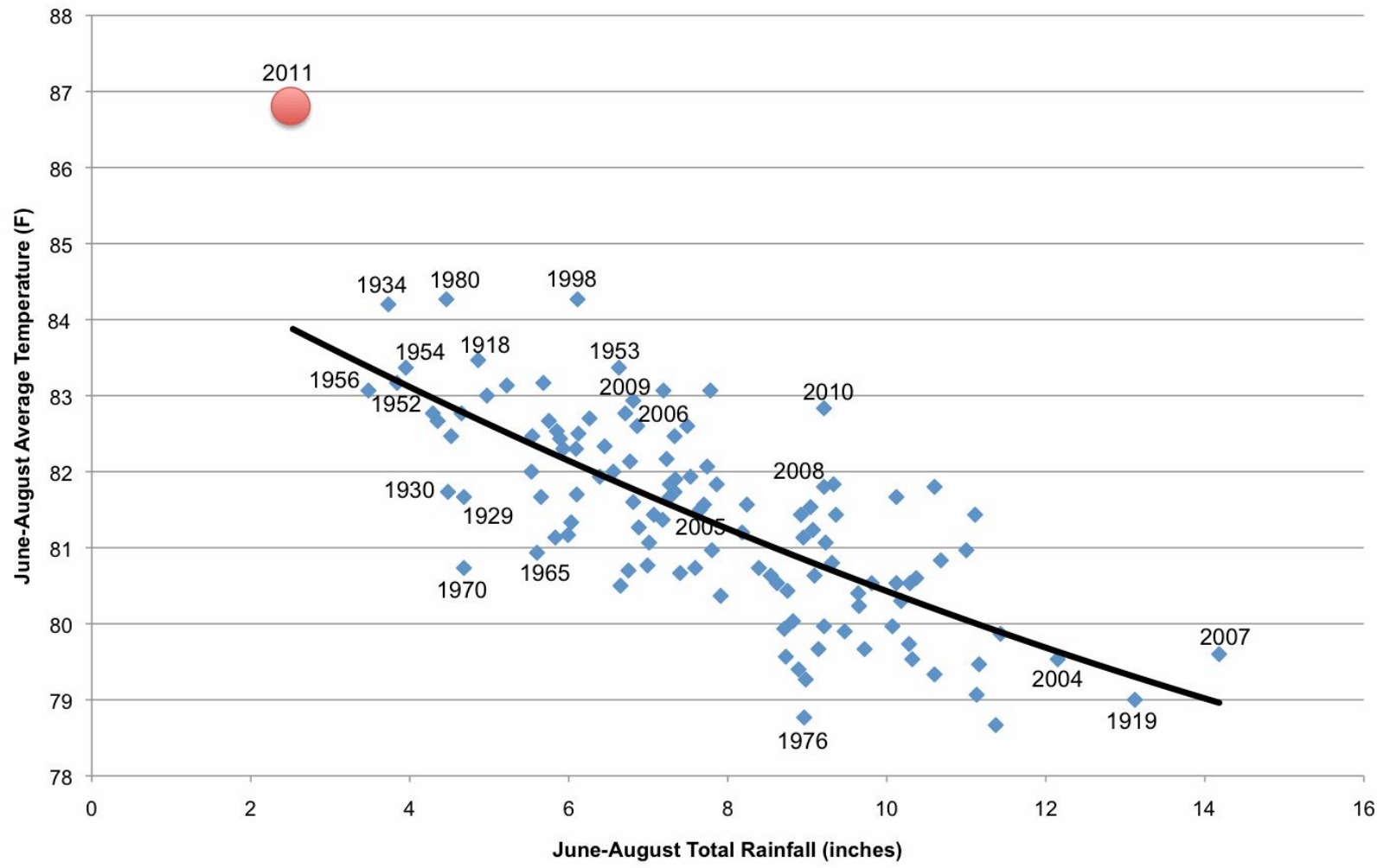
Climate Prediction Center, NOAA

9 to 12 Inches

12 to 15 Inches

Over 15 Inches

Texas Summers



Index vážnosti sucha

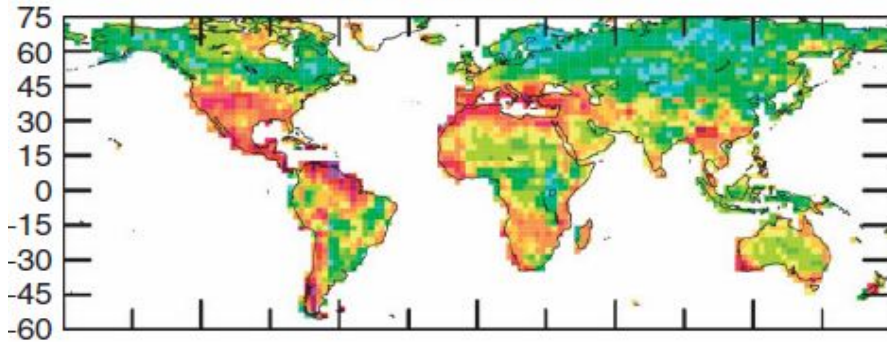
(již červená znamená extrémní sucha)

(22 modelů při vývoji dle SRES A1B)

(Dai, 2010: Drought under global warming: a review)

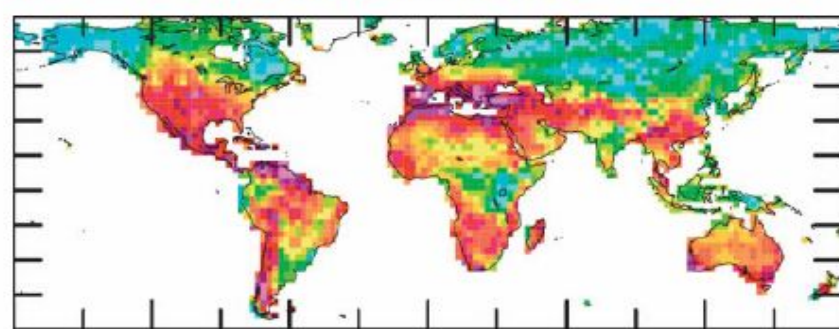
(c)

SC-PDSI, 2000-2009



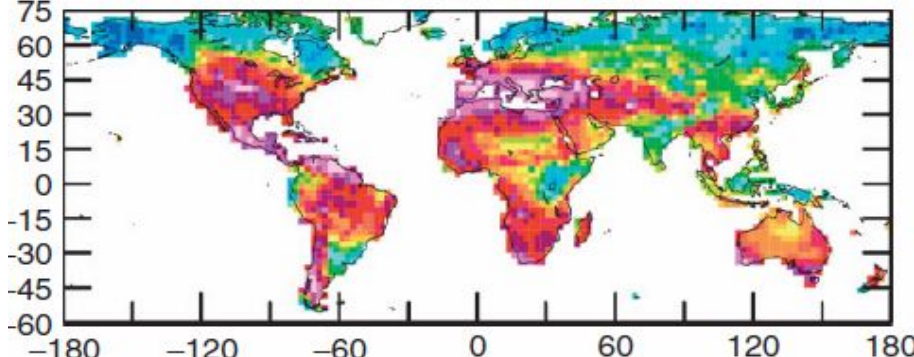
(d)

SC-PDSI, 2030-2039



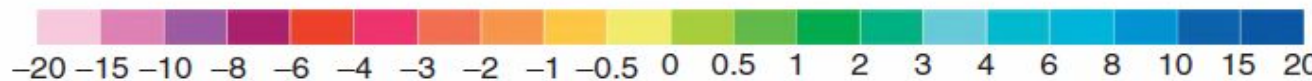
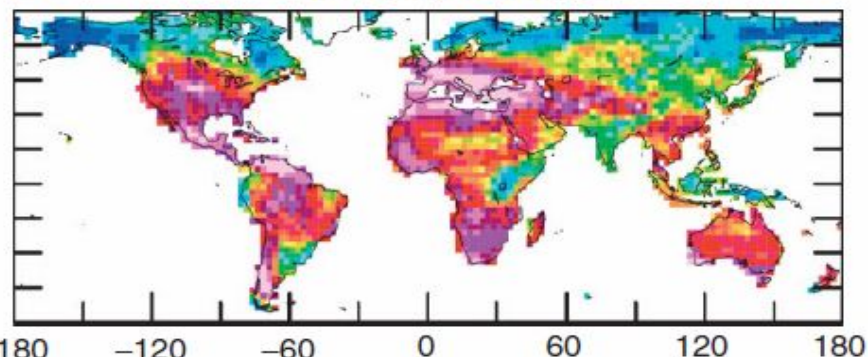
(e)

SC-PDSI, 2060-2069



(f)

SC-PDSI, 2090-2099



Stabilizovat „na úrovni, která zamezí nebezpečnému lidskému zásahu do klimatického systému“

United Nations
Framework Convention on Climate Change
(1992)

Aim:

*to stabilize greenhouse gas concentrations...
...at a level that would prevent dangerous anthropogenic interference with the climate system.”*

Rozměry „nebezpečné“ změny

Vyhynutí živočišných a rostlinných druhů

vyhynutí polárních a alpinských druhů
neudržitelná tempa migrace

Rozpad ledových příkrovů: hladina oceánu

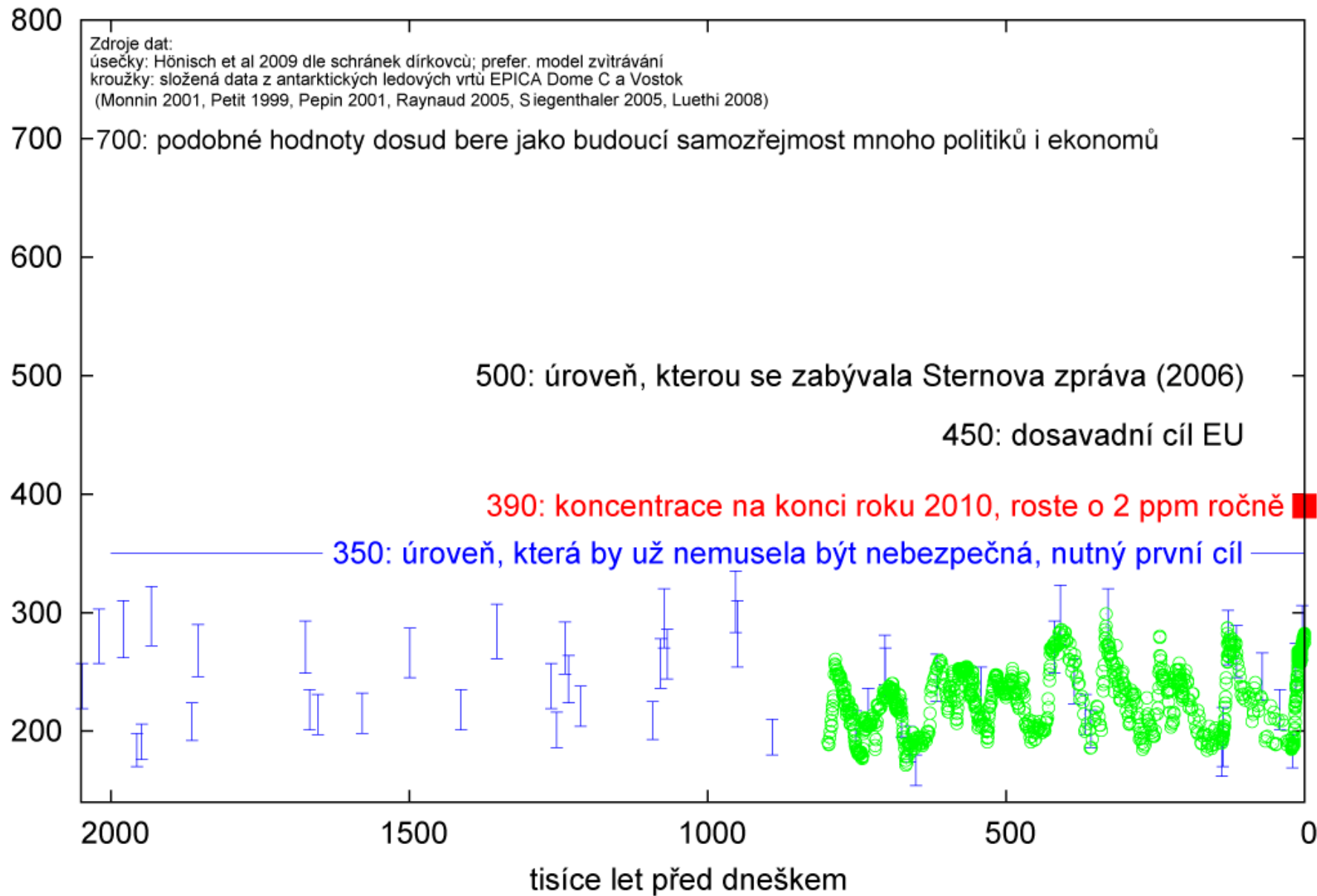
Regionální poruchy klimatu

častější extrémní události
posun vegetačních pásem / nouze o vodu

... stabilita klimatu v *holocénu* umožnila trvalé osídlení a rozvoj civilizace

... ztráta její stability v *antropocénu* - ztráta obyvatelnosti mnoha území a úživnosti Země

Koncentrace CO₂ během čtvrtohor, dnes a ...zítra?



Globální teplota vzhledem k období 1800-1900 ($^{\circ}\text{C}$)

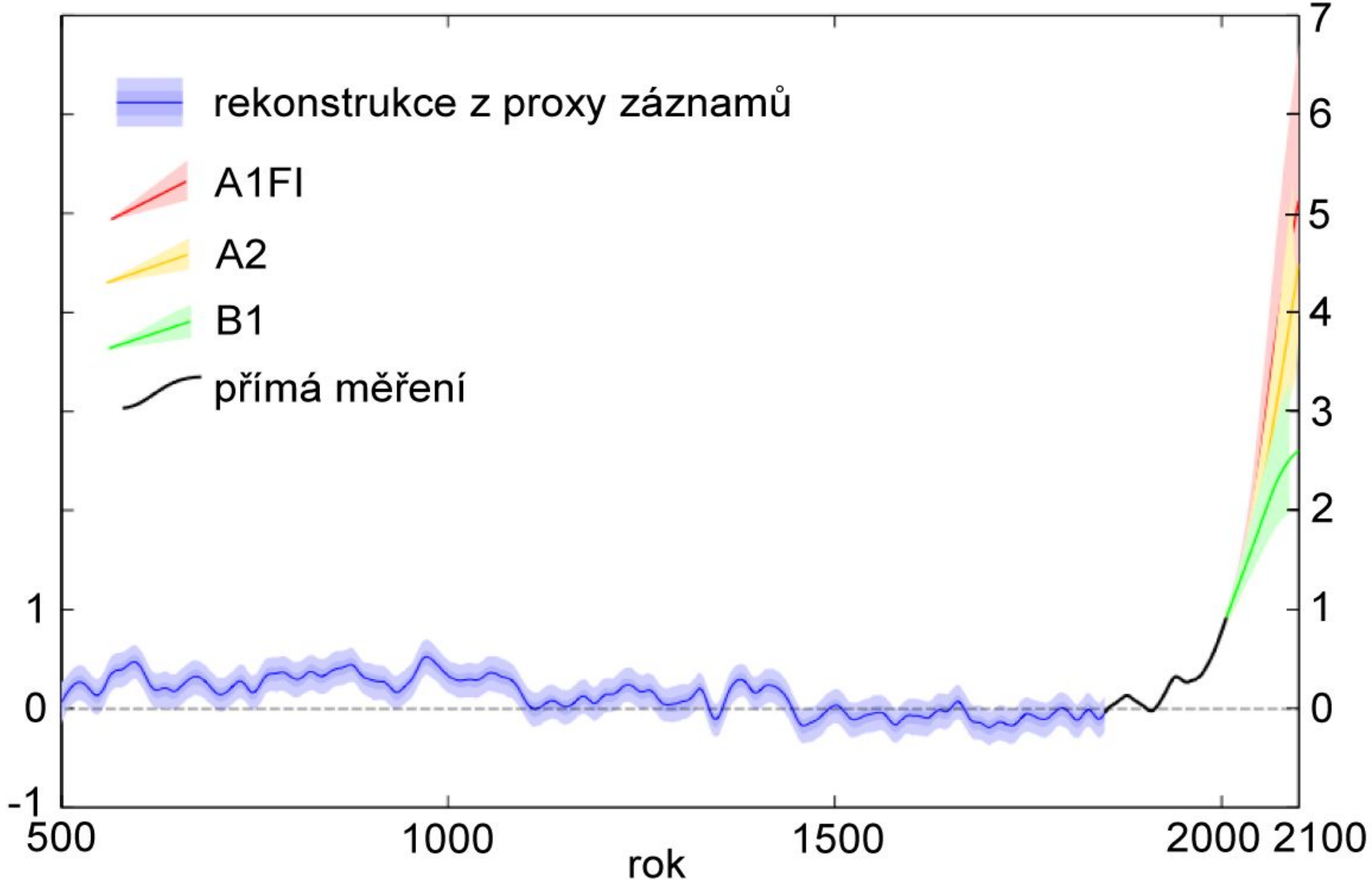
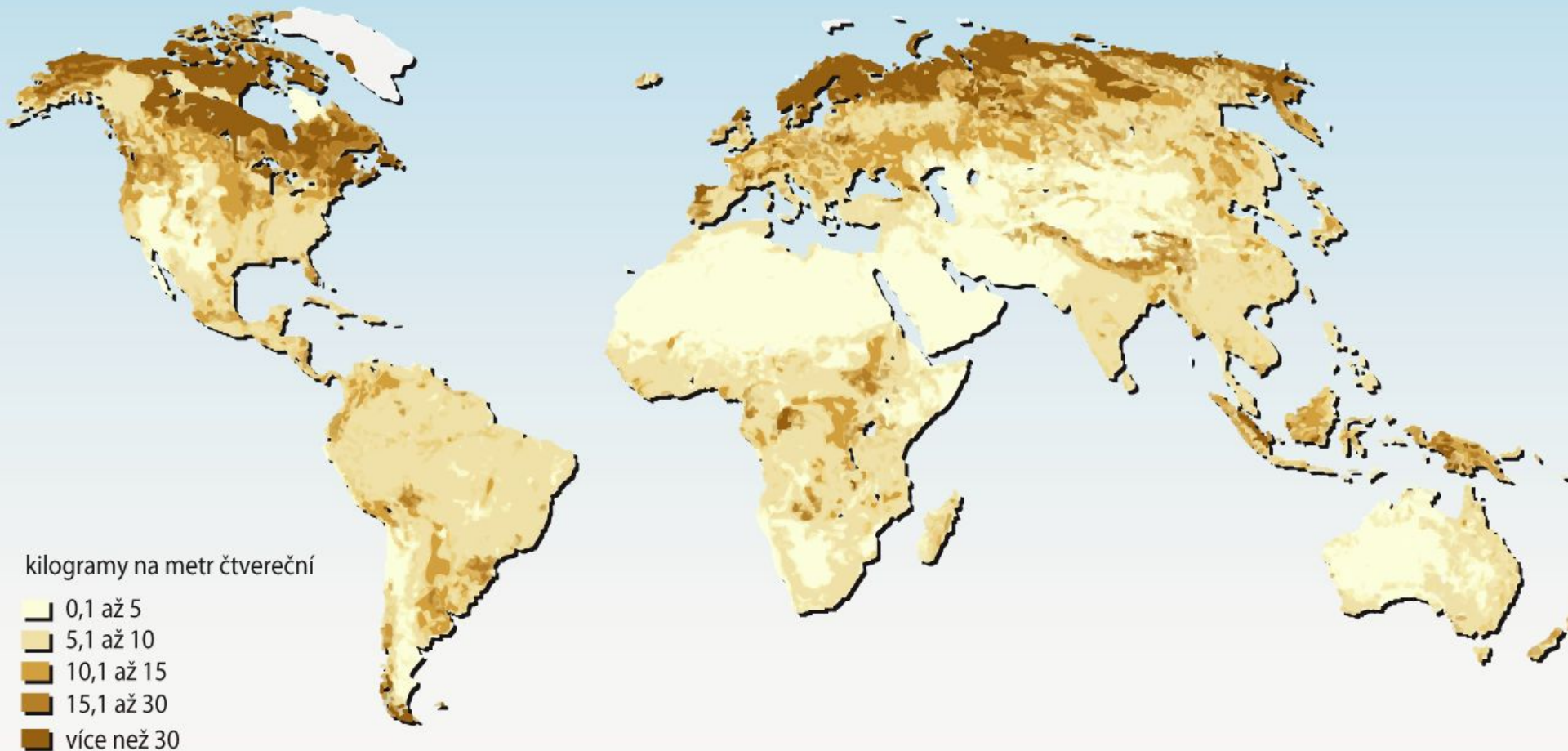


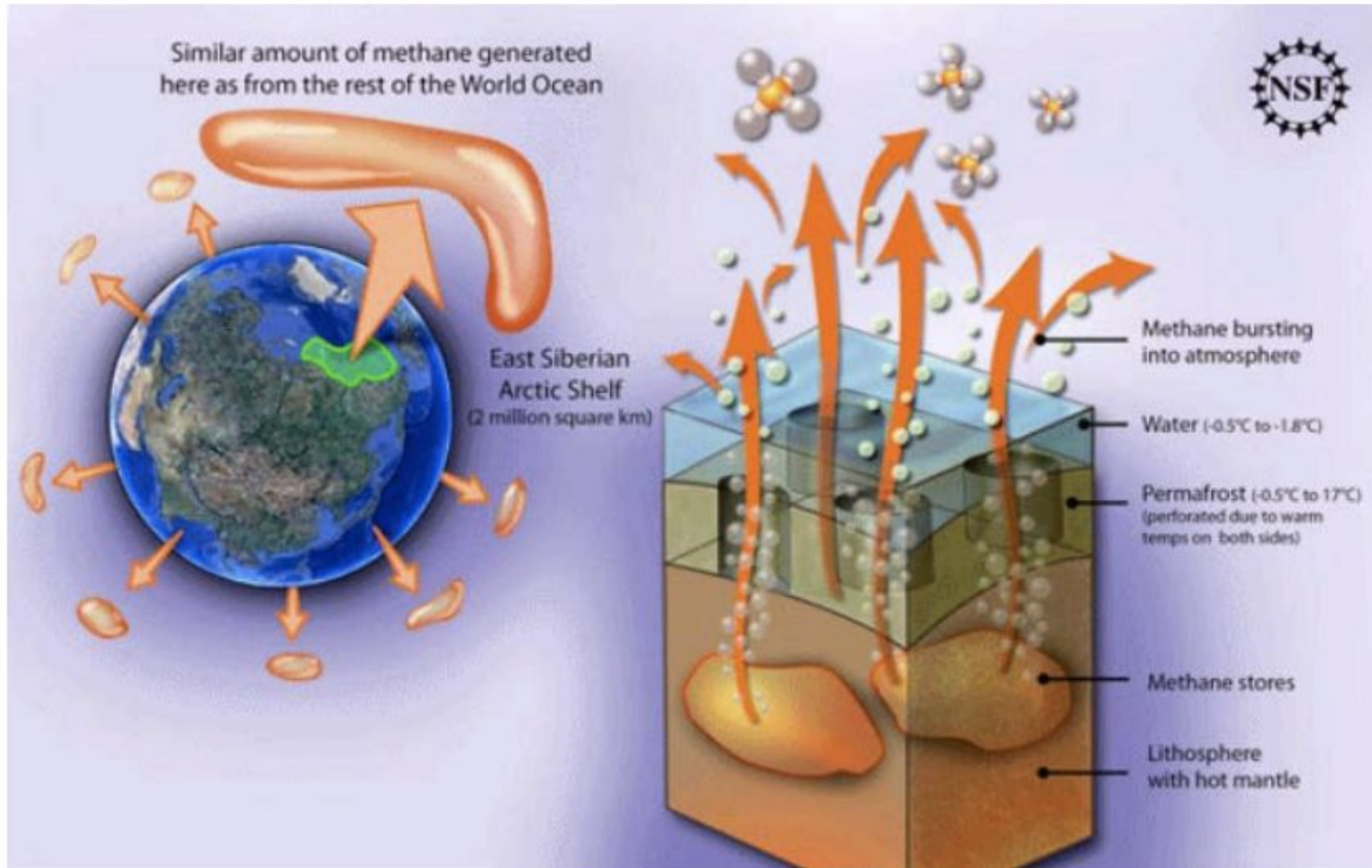
Figure 21: Rekonstruované a pozorované změny teplot a projekce do budoucna

Obsah uhlíku ve světových půdách





Arctic Methane Emissions



Recent evidence shows that methane emissions are increasing from Arctic permafrost and seabed clathrates

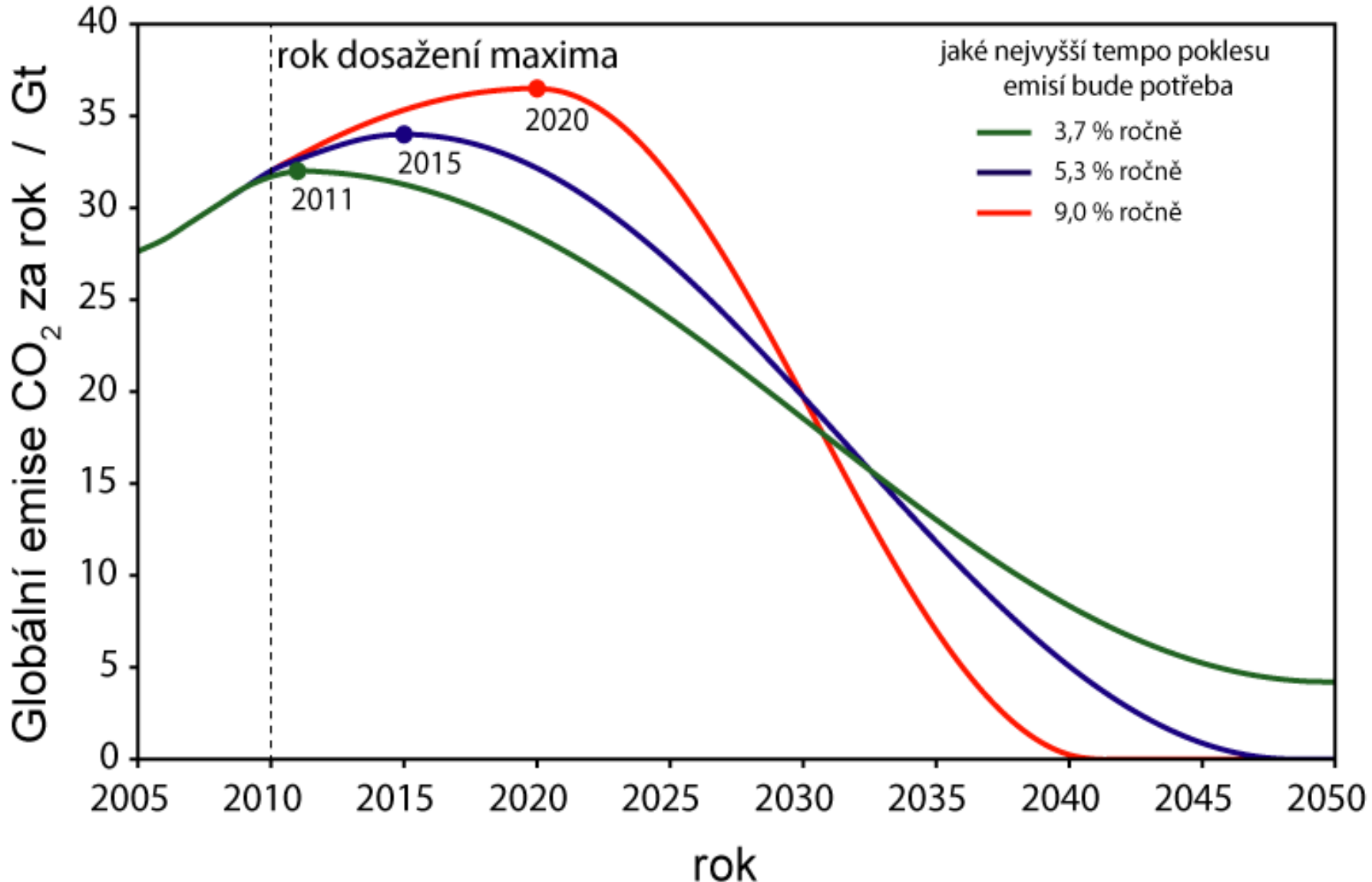
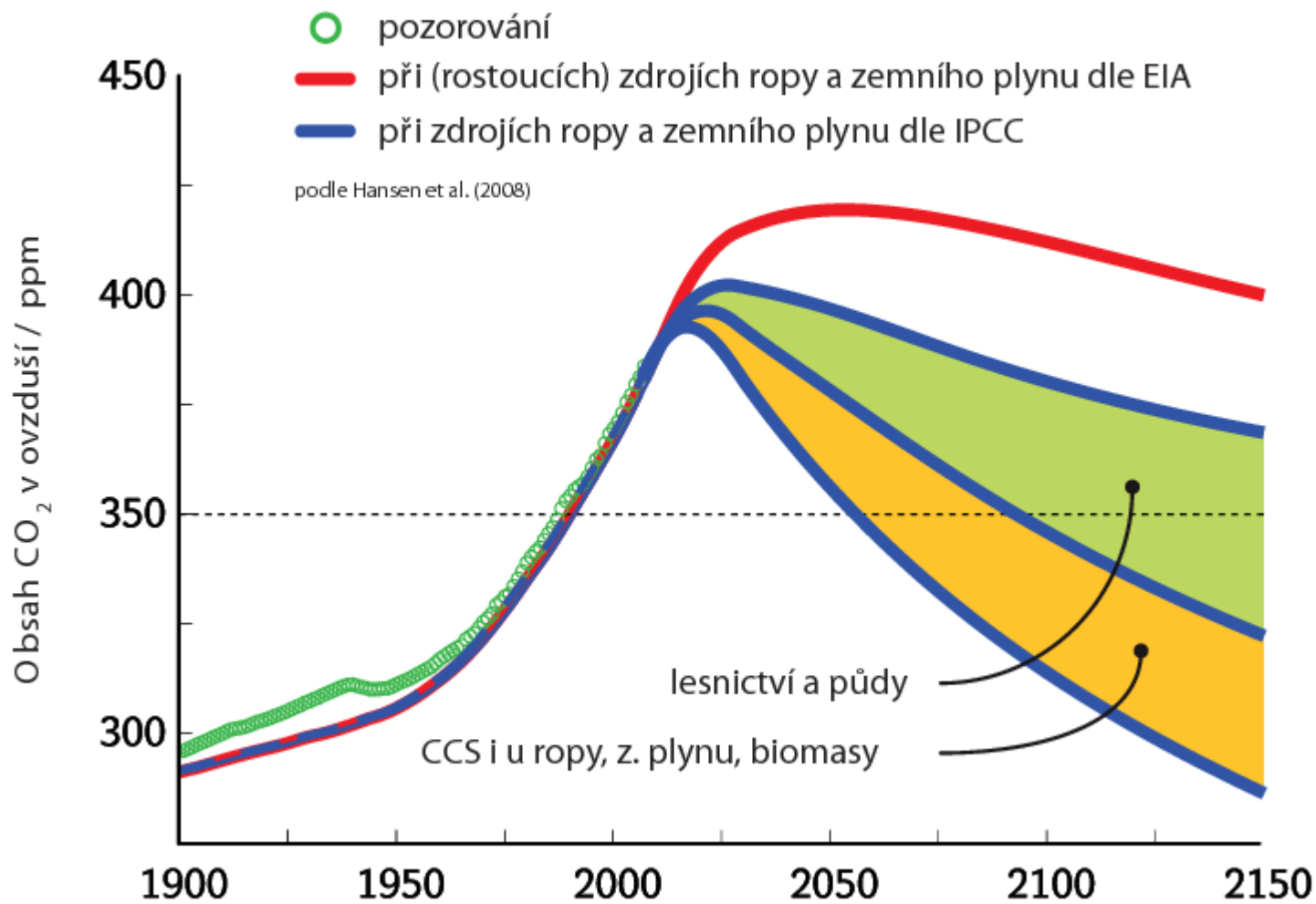


Figure 22: Vývoj emisí, který by dával naději 67 %, že globální oteplení nepřesáhne 2 °C

Cíl pro CO₂:

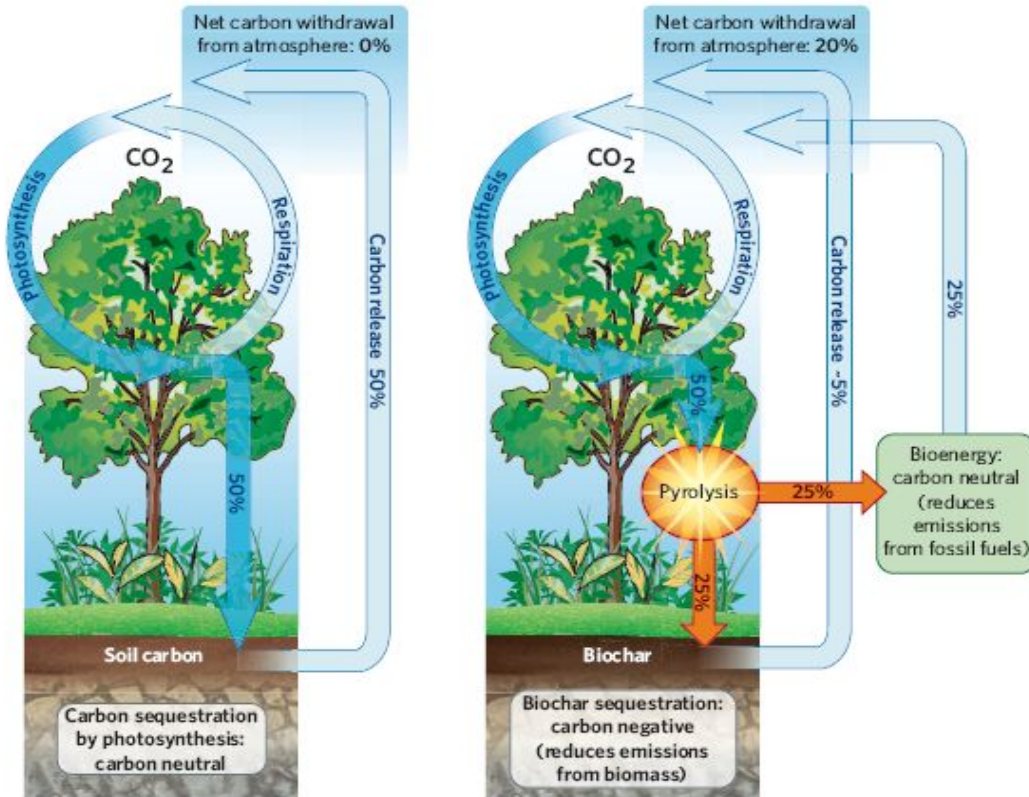
< 350 ppm

Pro záchrnu planety v podobě,
ve které se vyvinula civilizace



Nenechat biomasu zetlít nebo spálit na popel, ale zahřátím docílit jejího zuhelnatění. A výsledný produkt nepoužít jako palivo, ale vpravit jej v jemnozrnné formě do půdy.

Jelikož jde o uhel z biomasy ponechávaný v biosféře, nazýváme jej **biouhel** (z angl. biochar).



Cíl ubrat CO₂ pod 350 ppm

Technicky splnitelný
(ale ne v případě „business-as-usual“)

Kritický je rychlý ústup od uhlí
(dlouhá životnost CO₂ v ovzduší)
(nutno zastavit budování nových
uhelných elektráren, které CO₂
nezachycují a neukládají)

Výzva

Můžeme se ještě vyhnout poničení světa, který jsme jej zdědili

(a získat přitom čistší planetu a užitečnou práci)

Někdy musíme přijít na to, jak žít bez fosilních paliv...

Proč ne ted'

Odkazy

- www.veronica.cz/klima
- www.zmenaklimatu.cz
- <http://amper.ped.muni.cz/gw>
 - www.ipcc.ch



Zdroje obrázků a textů

Alexander Ač

James Hansen, NASA Goddard Institute for Space Studies

NASA JPL

Kevin Trenberth, National Center for Atmospheric Research

John Wahr

Ian Dunlop

Yvonna Gailly

Anders Levermann, Potsdam-Institut für Klimafolgenforschung (PIK)

Mezivládní panel pro změnu klimatu (IPCC)

The Copenhagen Diagnosis, 2009

John Holdren

Jan Hollan

a původně i jiné (viz popisky pod obrázky)